5^{ème} Ecole d'automne du GDR MBS

Eco-conception des matériaux biosourcés et géosourcés : de la ressource à la fin de vie

12 au 16 octobre 2025, Douai



Tomographie

Camille Chateau (ENPC) & Vincent Dubois (UArtois)











Introduction



Comment définiriez-vous la matière ?

Matière vivante





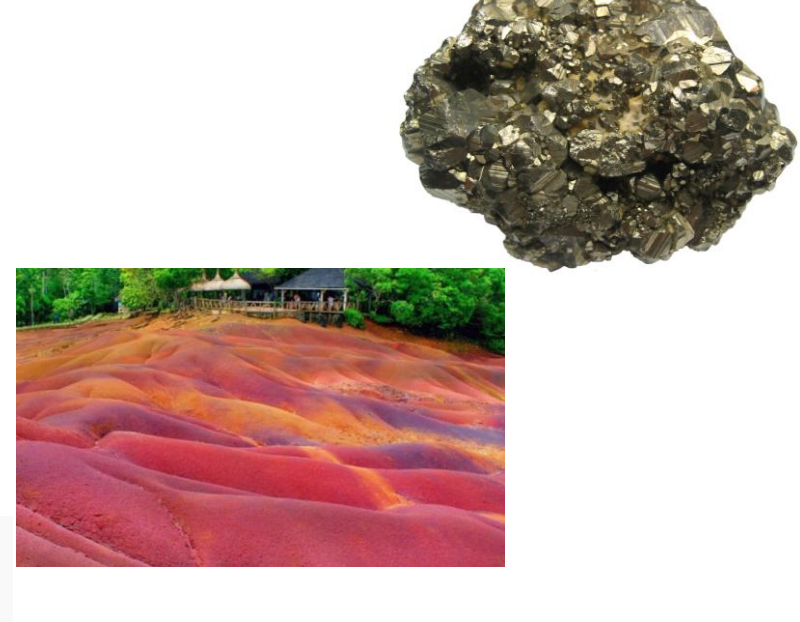


Principalement carbone, oxygène, hydrogène, azote

Matière non vivante



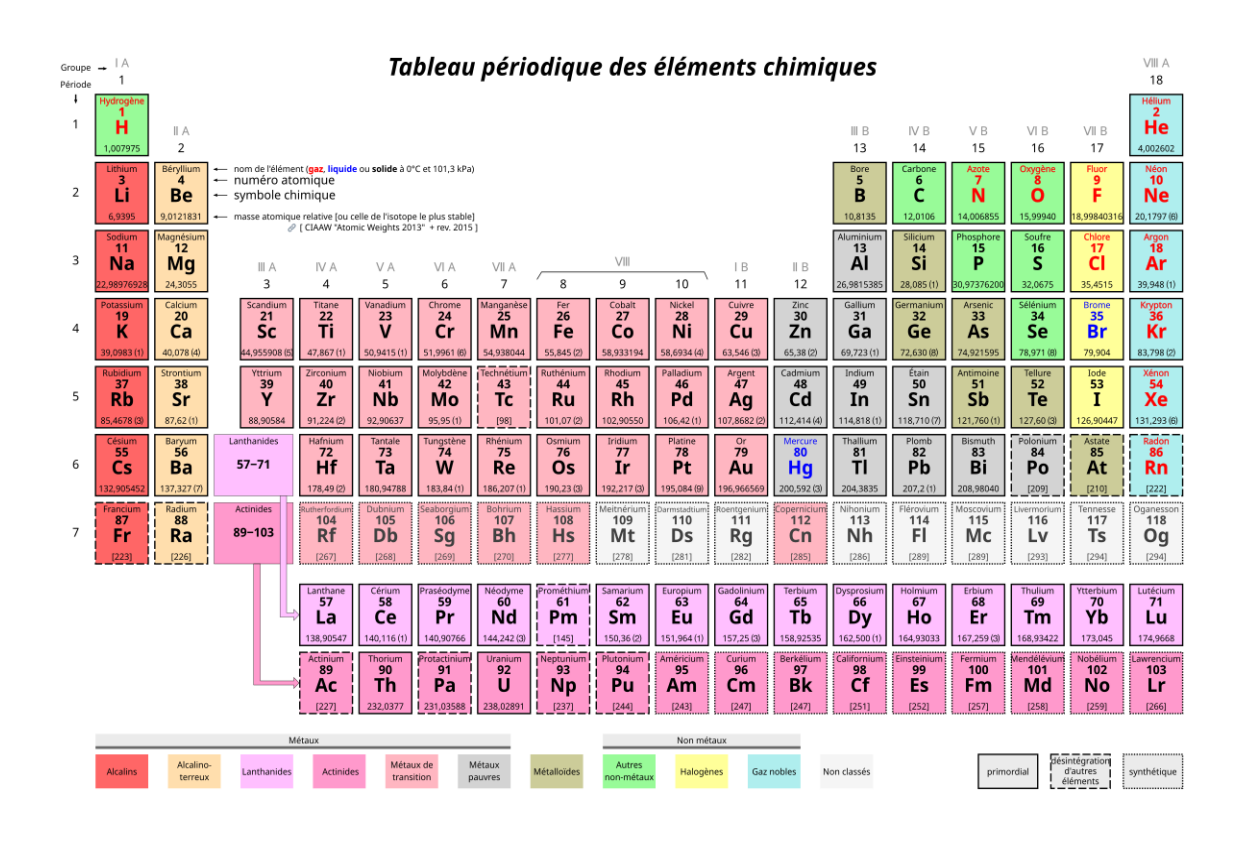




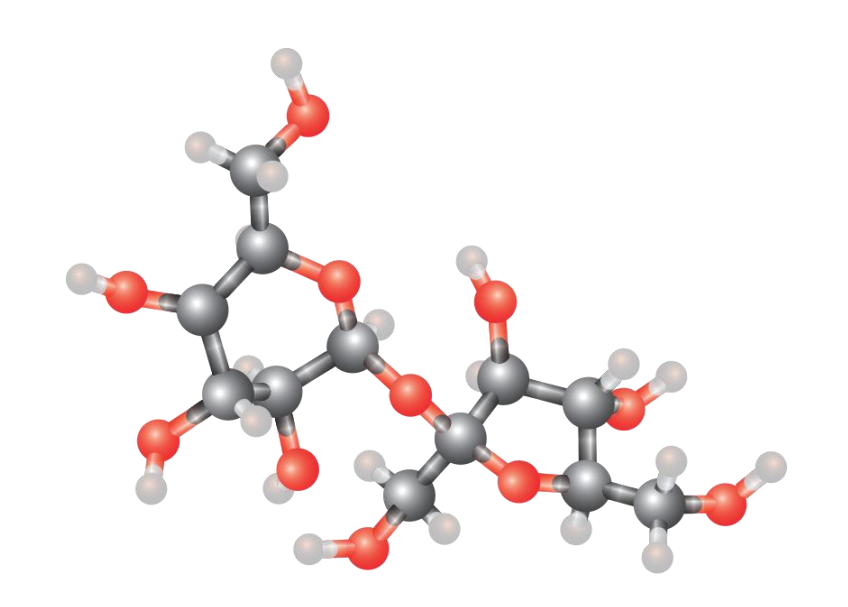




118 éléments chimiques



10 millions de composés organiques connus 400 000 composés inorganiques



L'Union internationale de chimie pure et appliquée définit la molécule comme « une entité électriquement neutre comprenant plus d'un atome » (DOI 10.1351/goldbook.M04002).



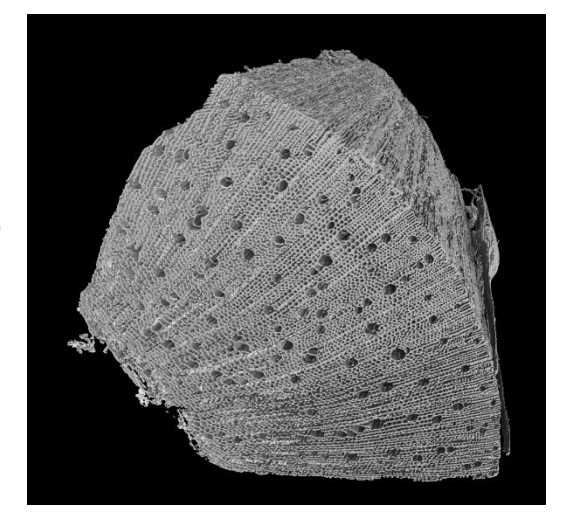
FACTEURS DISTINGUANT UN COMPOSANT D'UN AUTRE OU UN ASSEMBLAGE D'UN AUTRE

Matière seule (ex : chènevotte)

Composition élémentaire

Molécules / Structure chimique

Facteurs environnementaux (température, humidité, rayonnement solaire, nutriments...)



Assemblage (ex : béton de chanvre)

Proportions entre chaque composant – Interactions chimiques

Interfaces

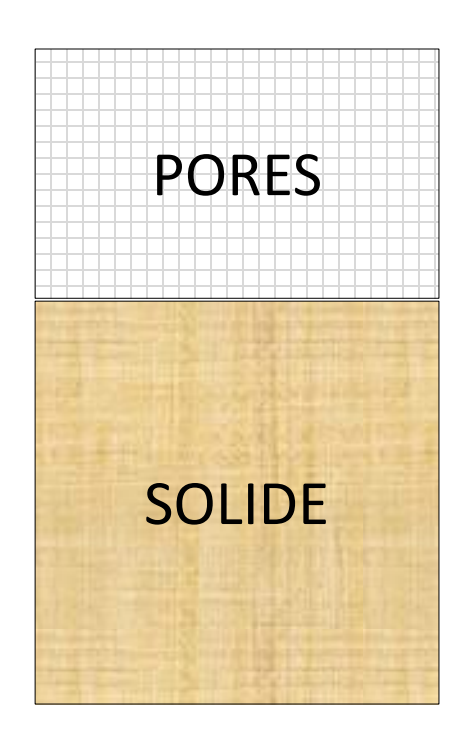
Fabrication: protocole de mélange, modalité d'utilisation (coulage, compactage, projection)

Conditions de cure

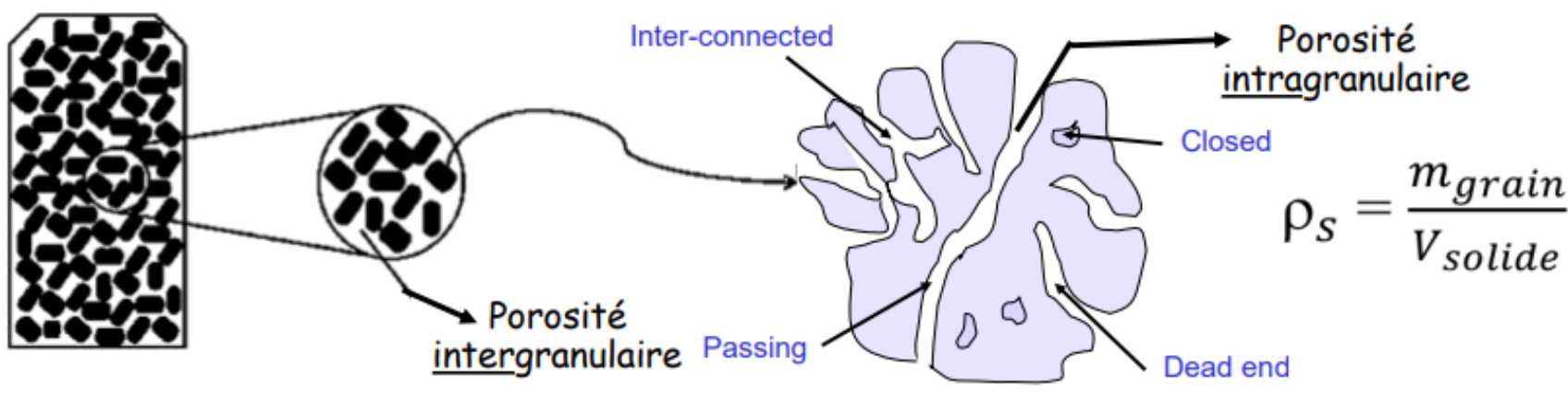


Structure interne -> Propriétés thermiques, hygriques, acoustiques, mécaniques

STRUCTURE INTERNE



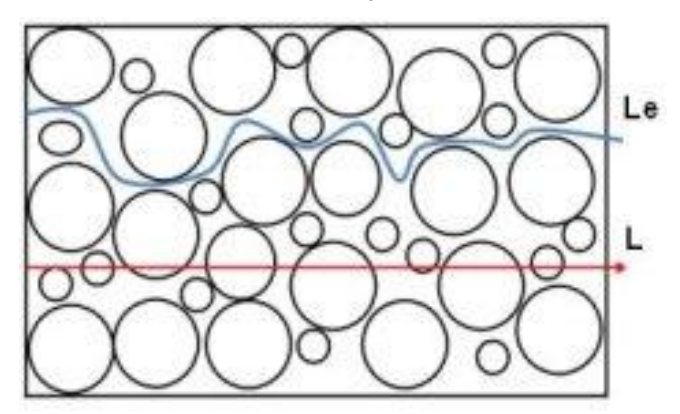
Porosité



Présentation d'Alain Celzard – Ecole d'Automne GdR 2024 – Introduction aux mesures de porosité et de surface spécifique

Tortuosité – Rappels sur les milieux poreux et granulaires (https://gpip.cnam.fr/)



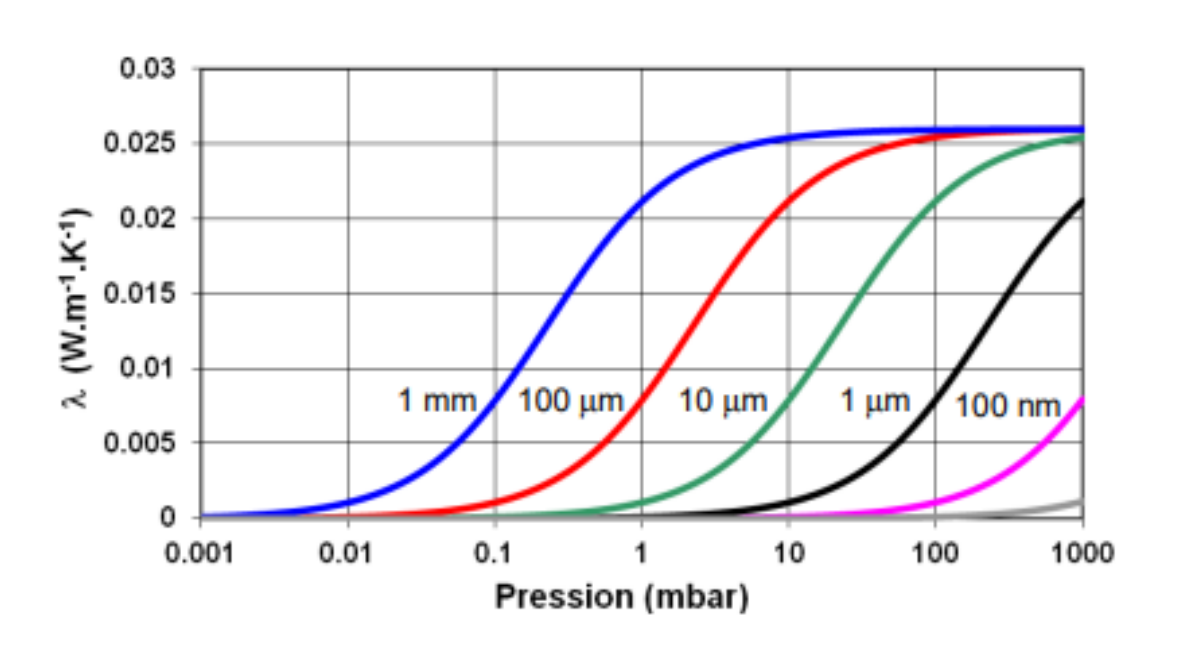


PROPRIETES

Influence de la porosité sur la conductivité thermique

Gamme de taille de pores (< 100 µm) : convection négligeable

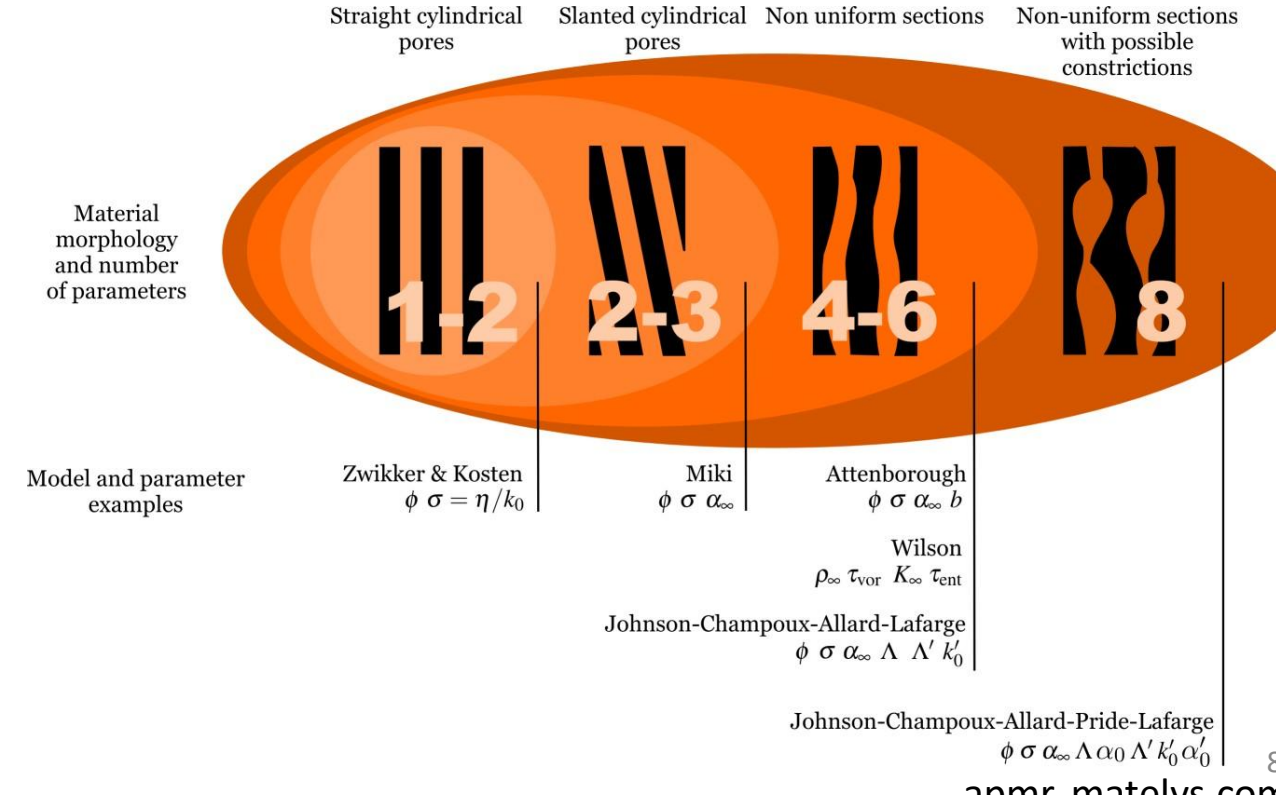
Effet Knudsen : la conductivité thermique dépend à la fois de la pression et de la dimension des pores considérés



[Degiovanni et Jannot 2013]

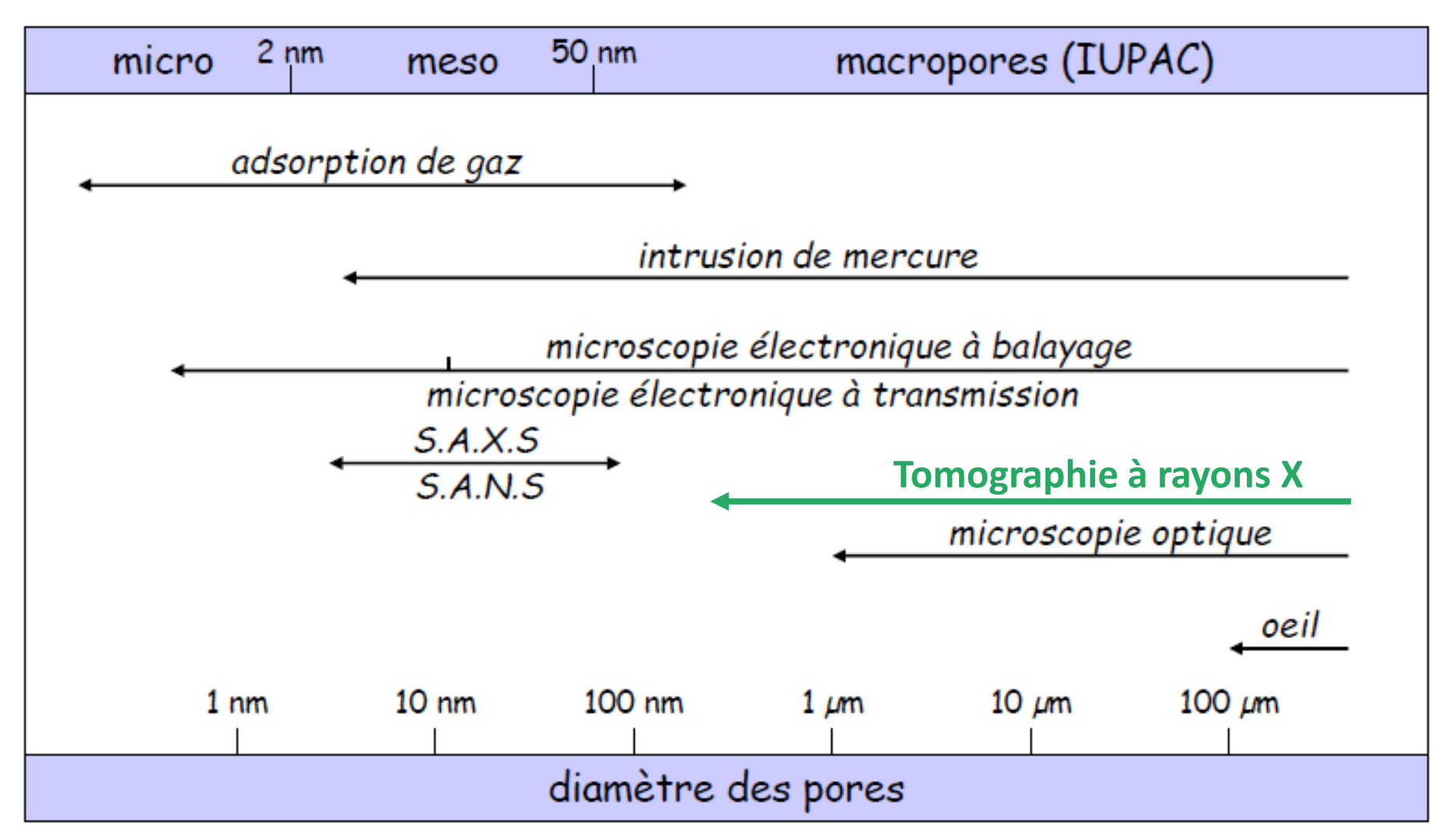
Influence de la porosité sur le comportement acoustique

Modèle JCAL : comportement de dissipation de matériaux fibreux ou de matériaux avec des formes de pores arbitraires sans variations importantes de section de pores





Positionnement de la tomographie par rapport à d'autres techniques





Non destructif
Information volumique
Peu de préparation échantillon



Acquisition longue Gros équipement + radiations Volume données Analyse lourde

- ☐ Principe et application de la tomographie aux matériaux
- Notions d'analyse d'images
- □ Deux exemples d'application aux matériaux biosourcés



Principes et applications de la tomographie aux matériaux

Tomographie

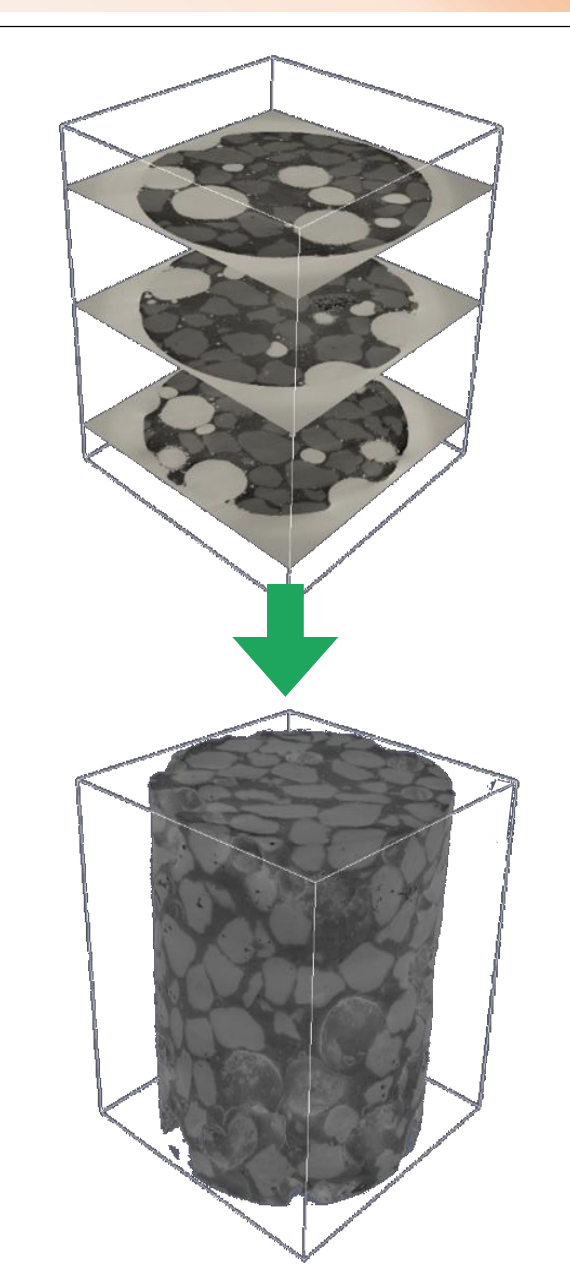
Tomo-:

provenant du verbe grec temnein, qui signifie « couper ».

-graphie:

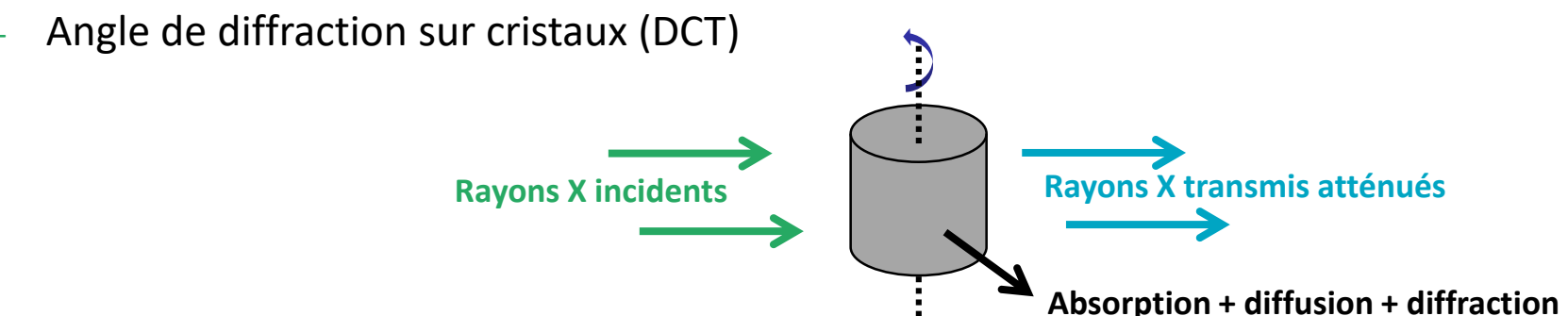
qui désigne l'écriture ou la représentation graphique.

- → Procédé d'imagerie qui permet de reconstituer le volume d'un objet en analysant une série de coupes transversales obtenues par mesures externes.
- → Technique largement utilisée dans des domaines tels que l'imagerie médicale, la géophysique et l'astrophysique.



Tomographie

- Issue de l'imagerie médicale (70s)
- Informations accessibles :
 - Coefficient d'atténuation $\mu(x,y)$ (tomographie d'absorption) \longrightarrow Le plus courant
 - Indice de réfraction (tomographie de contraste de phase)



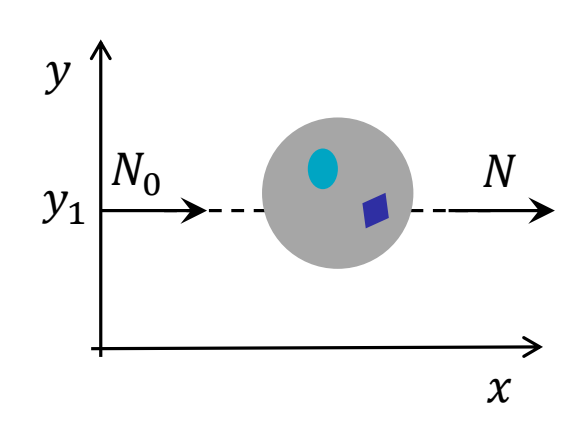
- 1. Mesure de l'atténuation des rayons X à travers un objet à différents angles.
 - >> radiographie = information locale intégrée le long d'une direction



- 2. Reconstruction des coupes à partir des radiographies à l'aide d'algorithmes spécifiques (inversion).
- 3. Juxtaposition de l'ensemble des coupes reconstruites pour obtenir l'image 3D.

Tomographie

1. Atténuation des rayons X



Loi de Beer-Lambert

$$N = N_0 \exp\left(-\int \mu(x, y_1) \ dx\right)$$

• N_0 : nombre de photons émis

N : nombre de photons mesuré

• μ : coefficient d'atténuation linéaire

$$\mu = \rho \left[a \frac{Z^m}{E^n A} + \frac{bZ}{AE} \right]$$

Absorption photoélectrique Diffusion Compton

E : énergie rayons X

ρ : densité massique

Z : numéro atomique

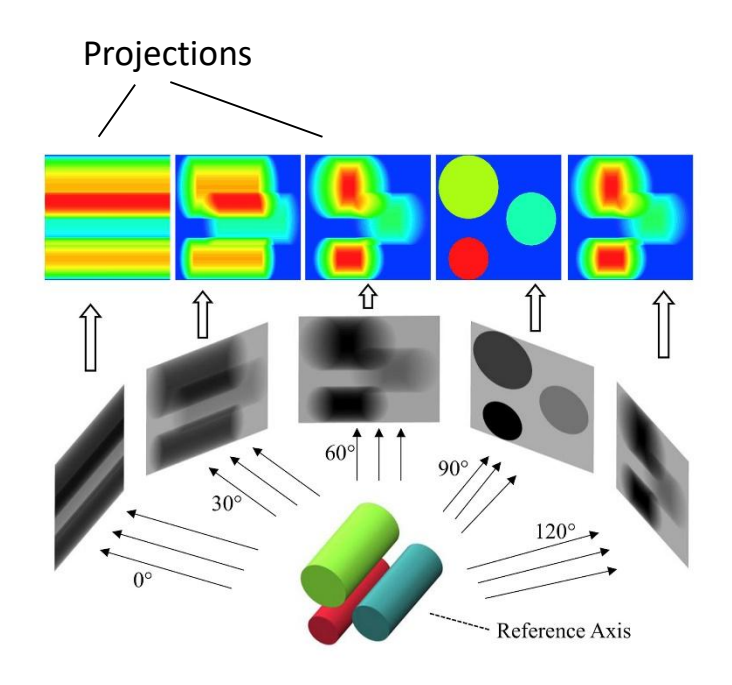
lacksquare A: poids atomique

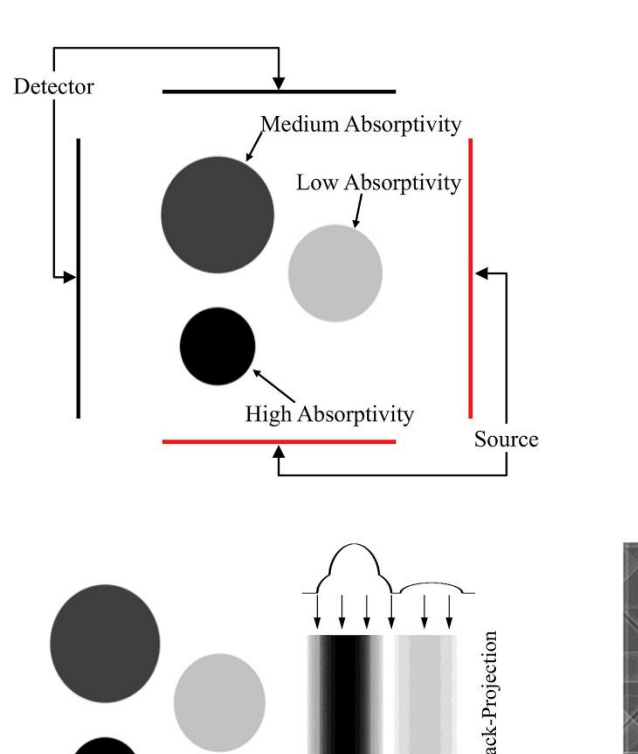
• m, n, a, b: constantes

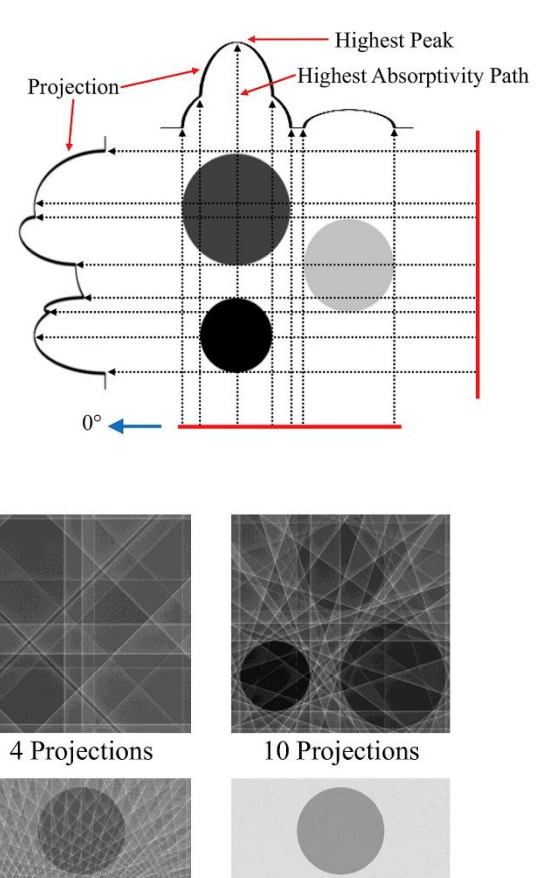
Tomographie

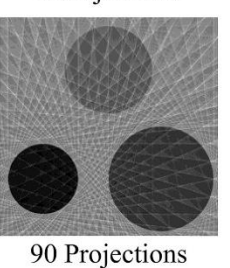
2. Reconstruction

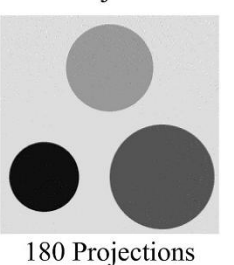
Algorithme de rétroprojection filtrée











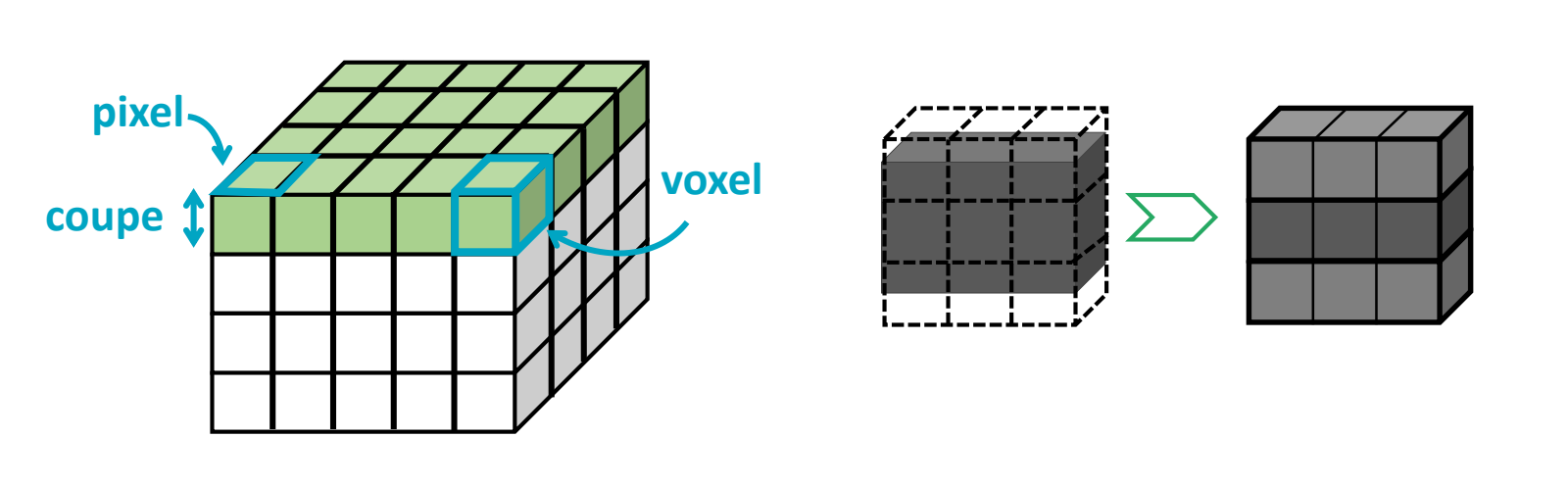
Ali et al., Composites Science and Technology 184, 2019

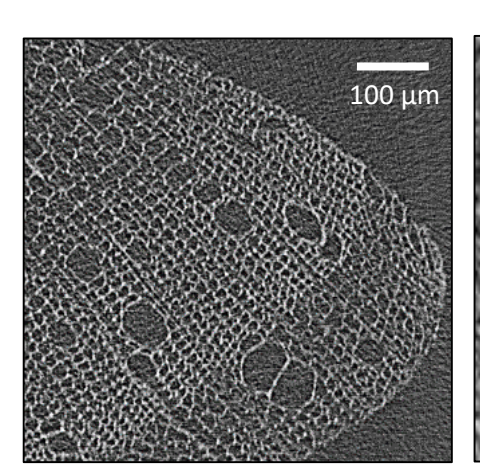


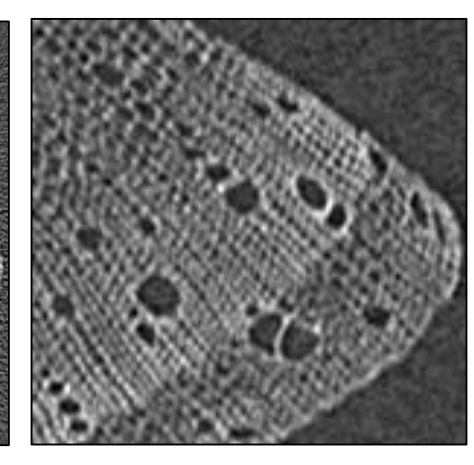
Tomographie

3. Image volumique

- □ **Voxel** = extension en 3D d'un pixel
- Coupe = épaisseur finie de l'objet composée de voxels
- Paramètre final visualisé = niveau de gris du voxel dans la coupe reconstruite
 - → lié à la moyenne des coefficients d'atténuation linéaire de l'ensemble des composants physiquement présents dans le voxel → Effet de volume partiel
- Taille de voxel = résolution de l'image (≠ résolution de mesure)







voxel : 1.3 μm

voxel: 13 μm

Lien niveau de gris / masse volumique

En contraste d'absorption, hypothèse de linéarité :

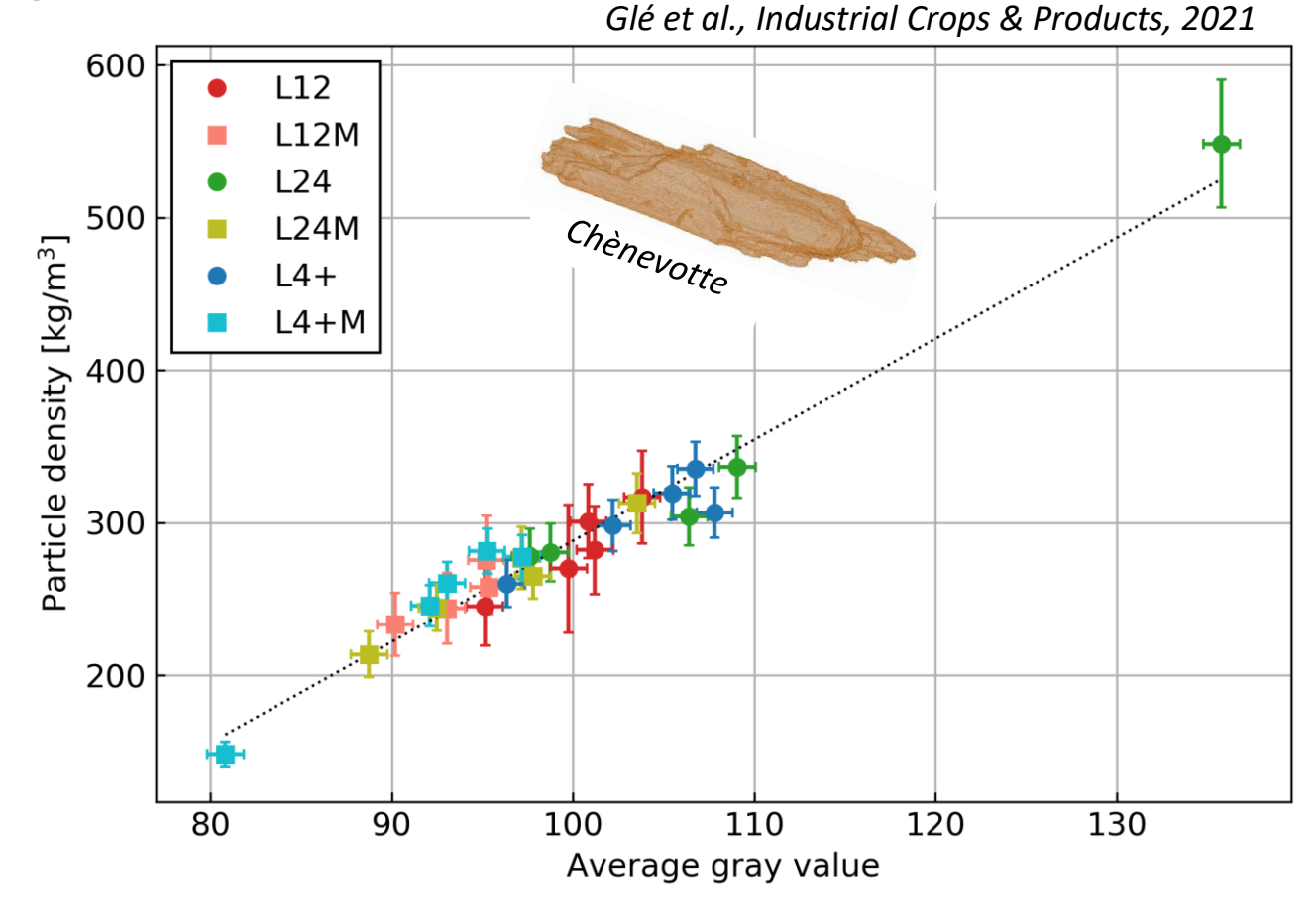
niveau de gris ∝ masse volumique

$$\mu = \rho \left[a \frac{Z^m}{E^n A} + \frac{bZ}{AE} \right]$$

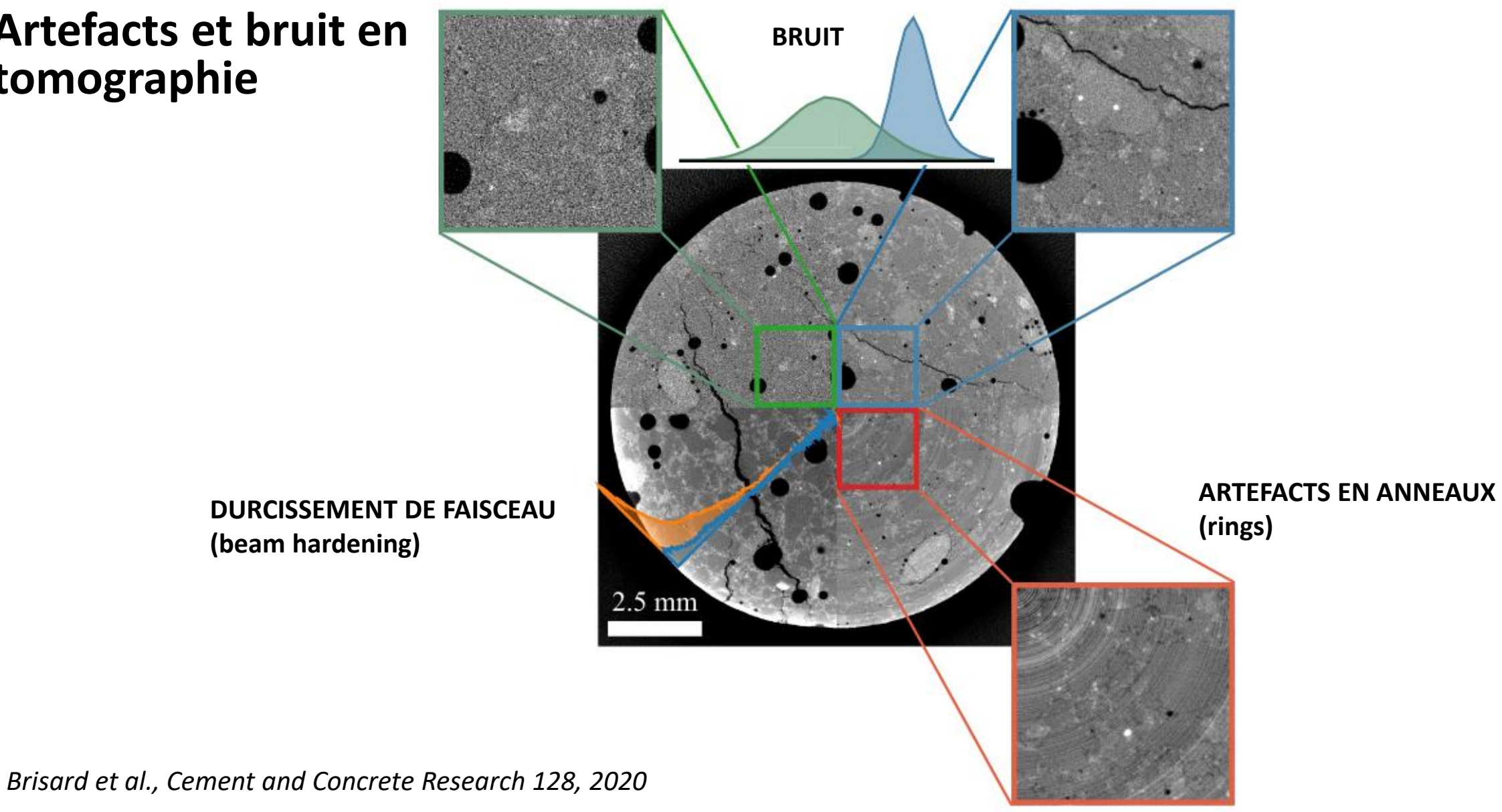
Coefficient d'atténuation linéaire

→ « Densitométrie »





Artefacts et bruit en tomographie





Types de scanner

Scanner = Source de rayons X + Imageur + Système pour mesure à différents angles 3 types de scanner :



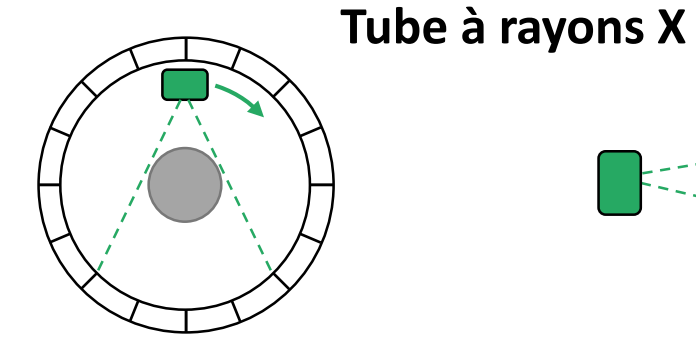
Scanner médical

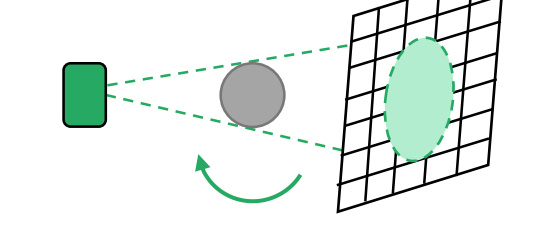


Tomographe de laboratoire



Synchrotron







Faisceau parallèle

Comparatif *

Type de scanner	Médical	Laboratoire / industriel	Synchrotron	
Source rayons X	Tube r	Accélérateur de particules		
Géométrie faisceau	Eventail	Parallèle		
Résolution	100-1000 μm 0.25-100 μm		0.1-10 μm	
Taille d'objet	dm	cm	mm	
Temps de scan	Sec-min	Min-hr	Sec-min	

- Meilleure résolution : scanner laboratoire et synchrotron.
- Meilleur temps de scan : scanner médical et synchrotron.
- □ Meilleures conditions pour la reconstruction : synchrotron (faisceau parallèle et monochromatique)



Contraintes synchrotron : accès, énergie plus faible, échantillon de petite taille

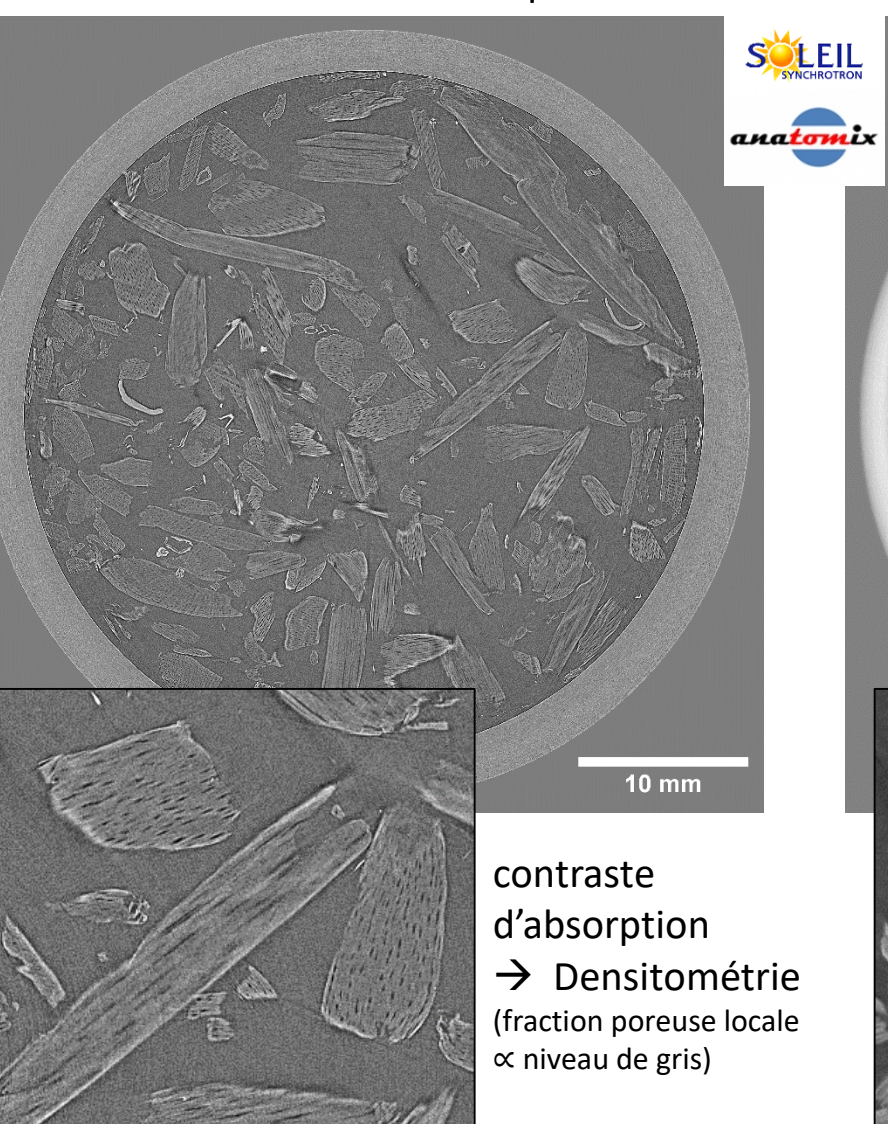
Comparatif Laboratoire **Synchrotron** SELEIL 200 μm 200 μm ana<mark>tom</mark>ix Navier 2020 SOLEIL – Anatomix 2021 • voxel : 1.3 μm³ voxel : 1.3 μm³ • temps de scan : 26 h temps de scan : 9 min 50 μm

Exemple synchrotron

SOLEIL - Anatomix



Reconstruction « classique »



Reconstruction avec méthode Paganin



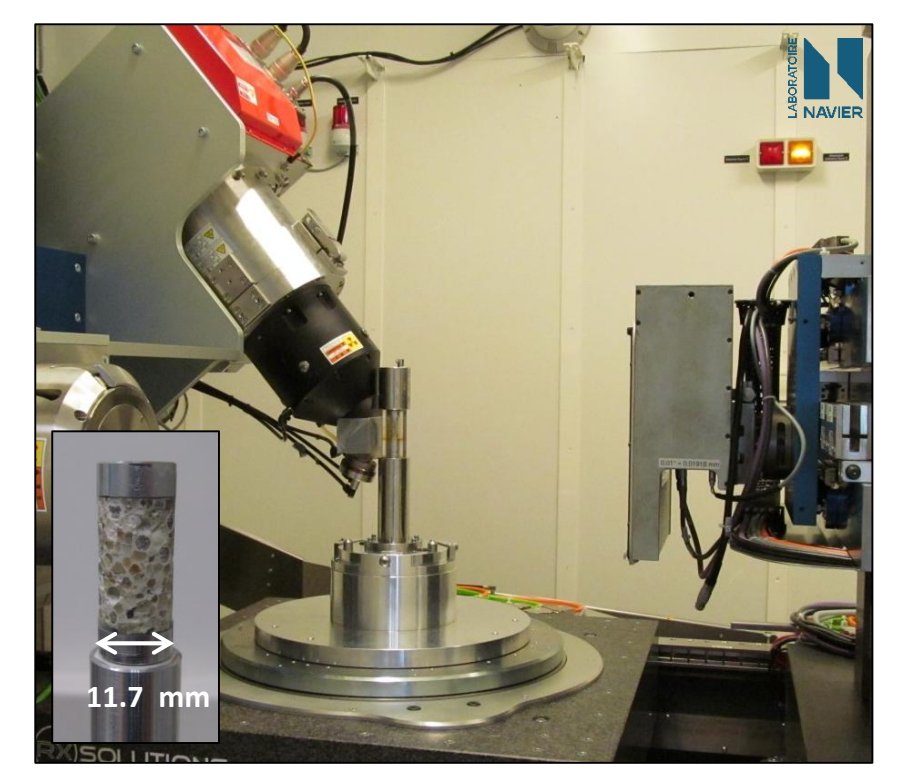


Essais in situ

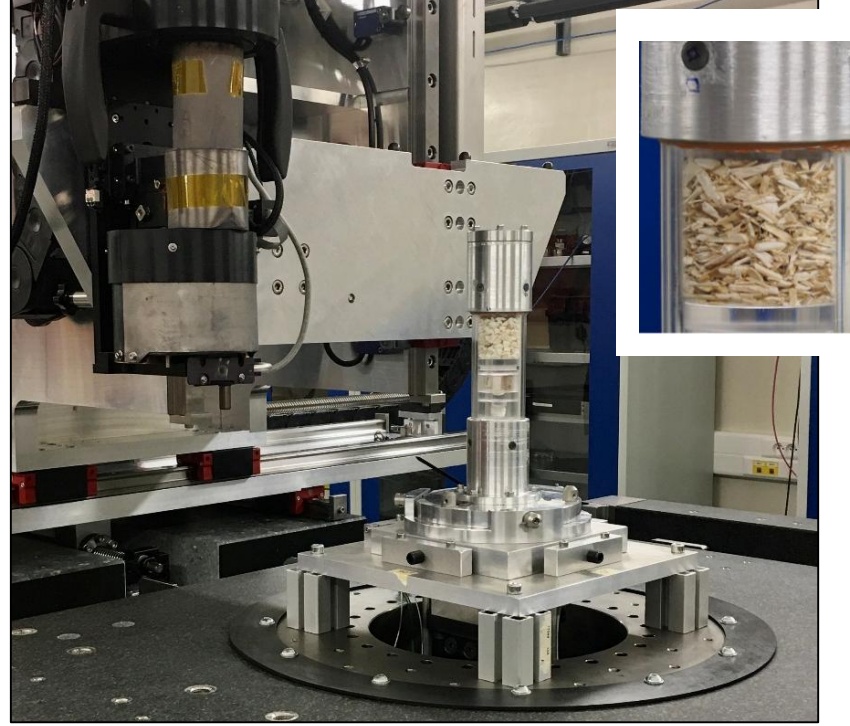
Machine de sollicitation mécanique + technique d'observation

Caractérisation du matériau à différents niveaux de déformation / humidité / température ...

Laboratoire



Synchrotron

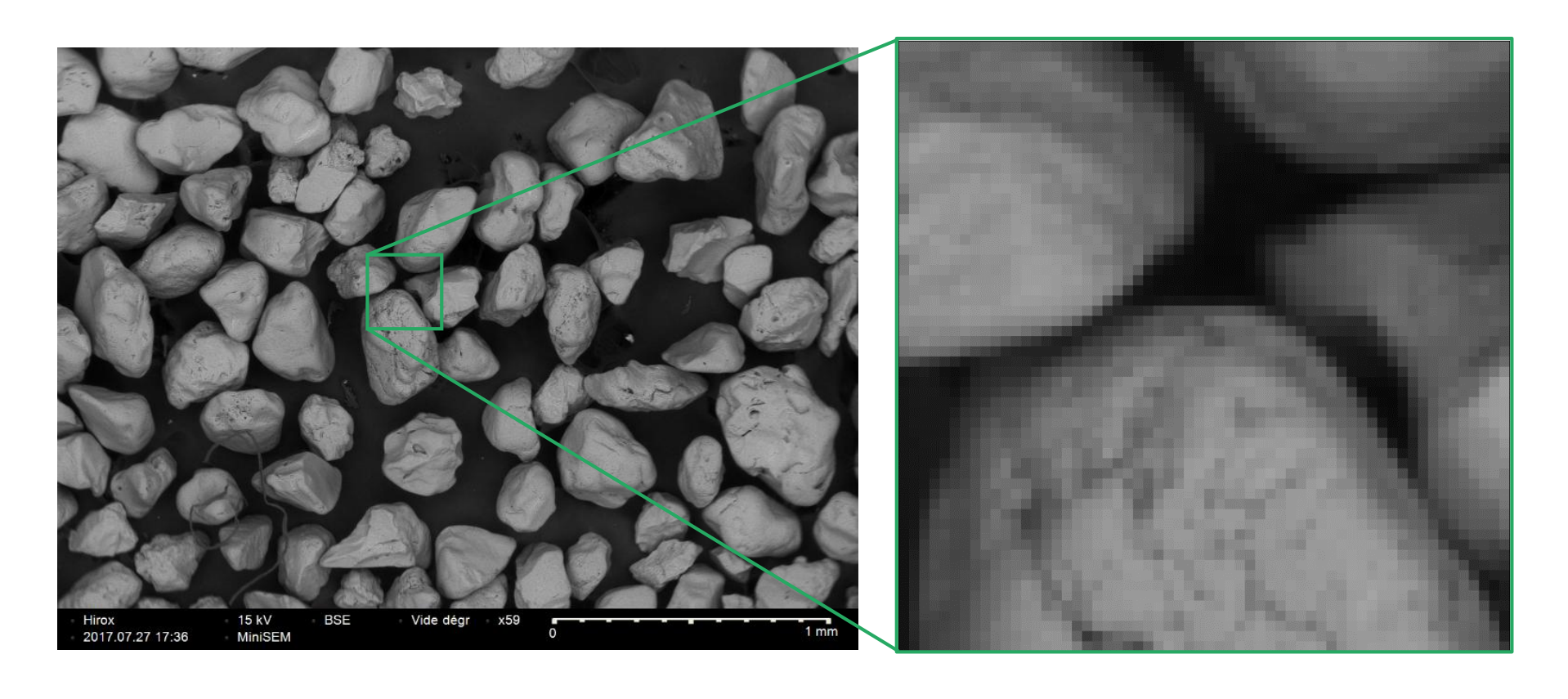




Notions d'analyse d'images



Qu'est-ce qu'une image numérique ?



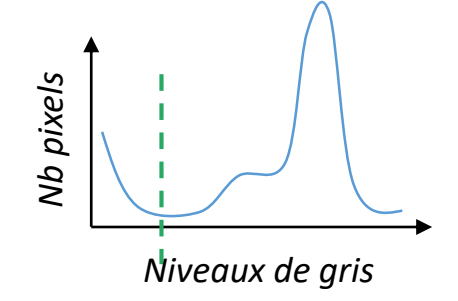
Description discrète : résolution spatiale + profondeur de l'image

Outils d'analyse d'image

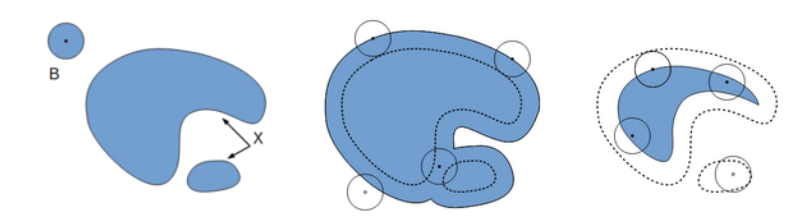
☐ **Filtrage** réduction de bruit, accentuation de contours ...

234	194	46	une fonction		
239	209	79		142	
145	118	41			

- Seuillage des niveaux de gris
 - Image binaire (pixel = 0 ou 1)



Opérations logiques et morphologiques

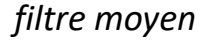


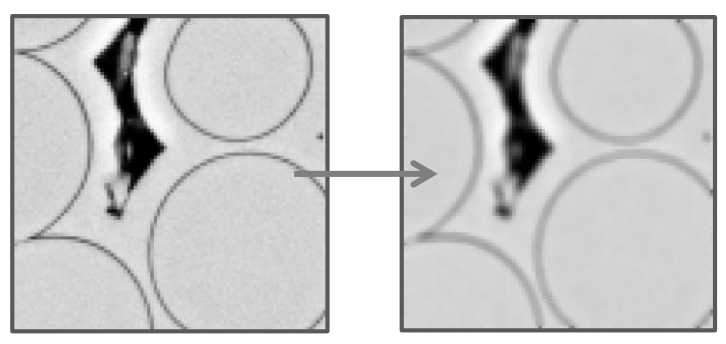
https://www6.inrae.fr/pfl-cepia/Axe-images/Tutoriel/Morphologie-Mathematique

Analyse/sélection de particules

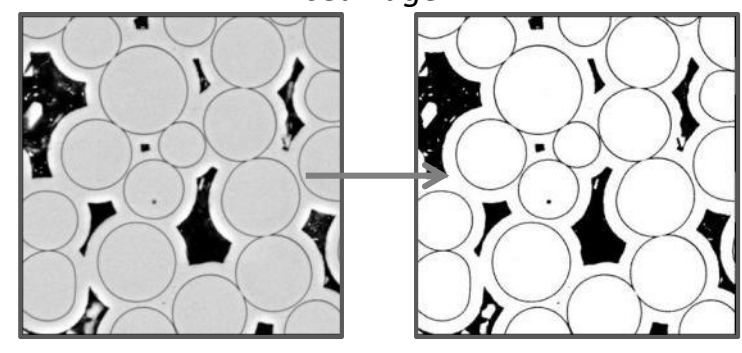
(ensembles de pixels connexes)

Segmentation (1 pixel = 1 catégorie)

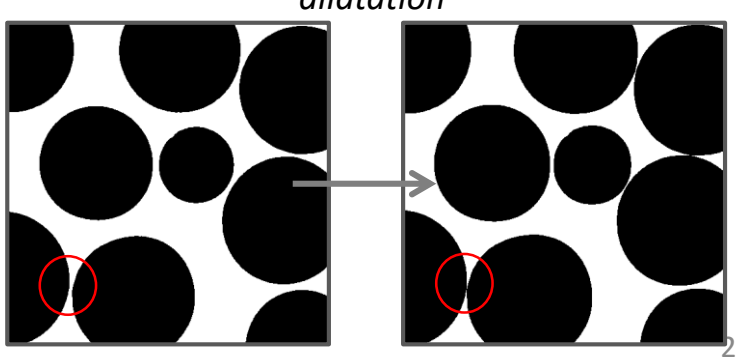




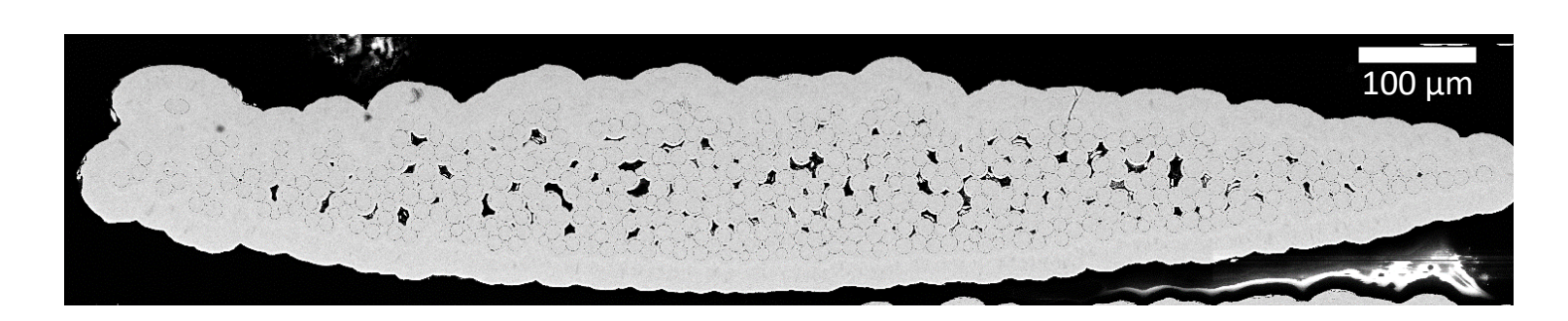
seuillage



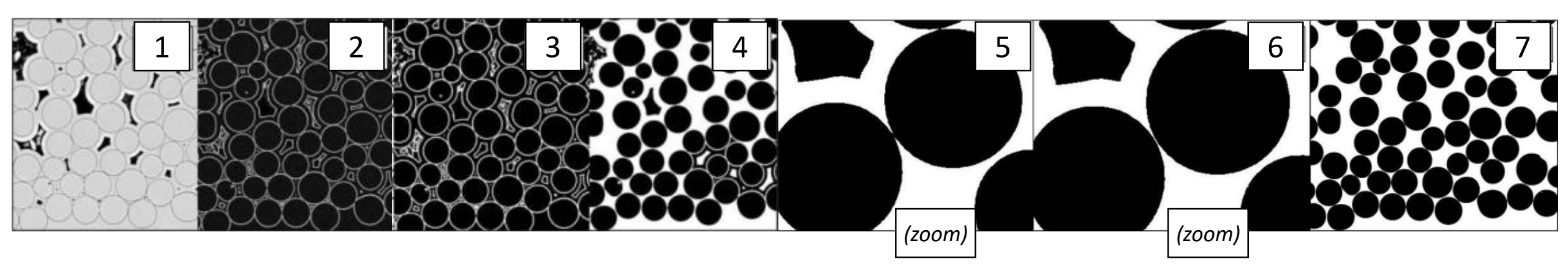
dilatation



Exemple 2D: segmentation des fibres dans un composite



Logiciel : ImageJ

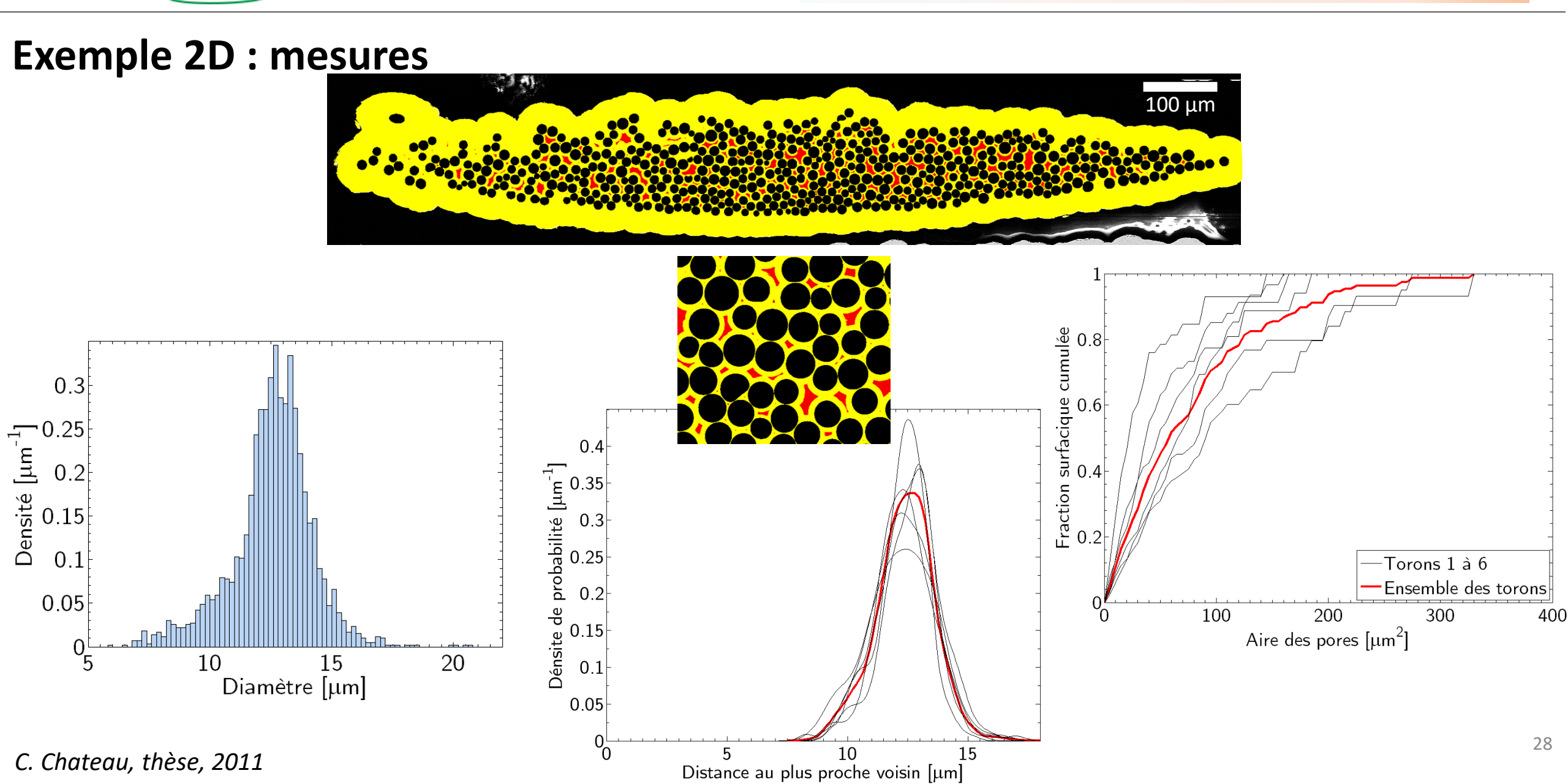


- 1. Lissage (filtre moyen)
- 2. Détection de contour (gradient)
- 3. Seuillage

- 4. Sélection des particules (critère = surface)
- 5. Dilatation
- 6. Individualisation des particules (watershed)

7. Sélection des particules (critère = circularité)

C. Chateau, thèse, 2011



Segmentation utilisant l'IA

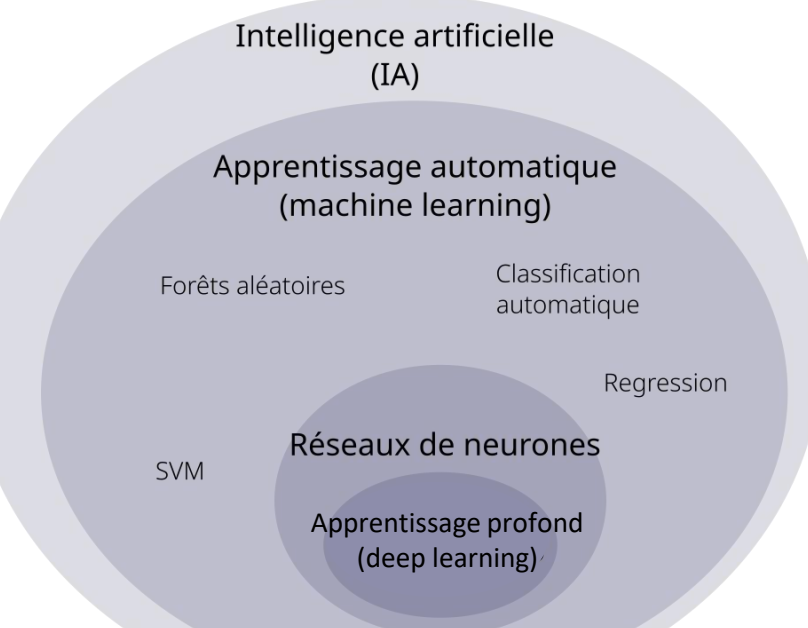
Machine learning:

[wikipedia]

« approches mathématiques et statistiques pour donner aux ordinateurs la capacité d'« apprendre » à partir de données, i.e. d'améliorer leurs performances à résoudre des tâches sans être explicitement programmés pour chacune. »

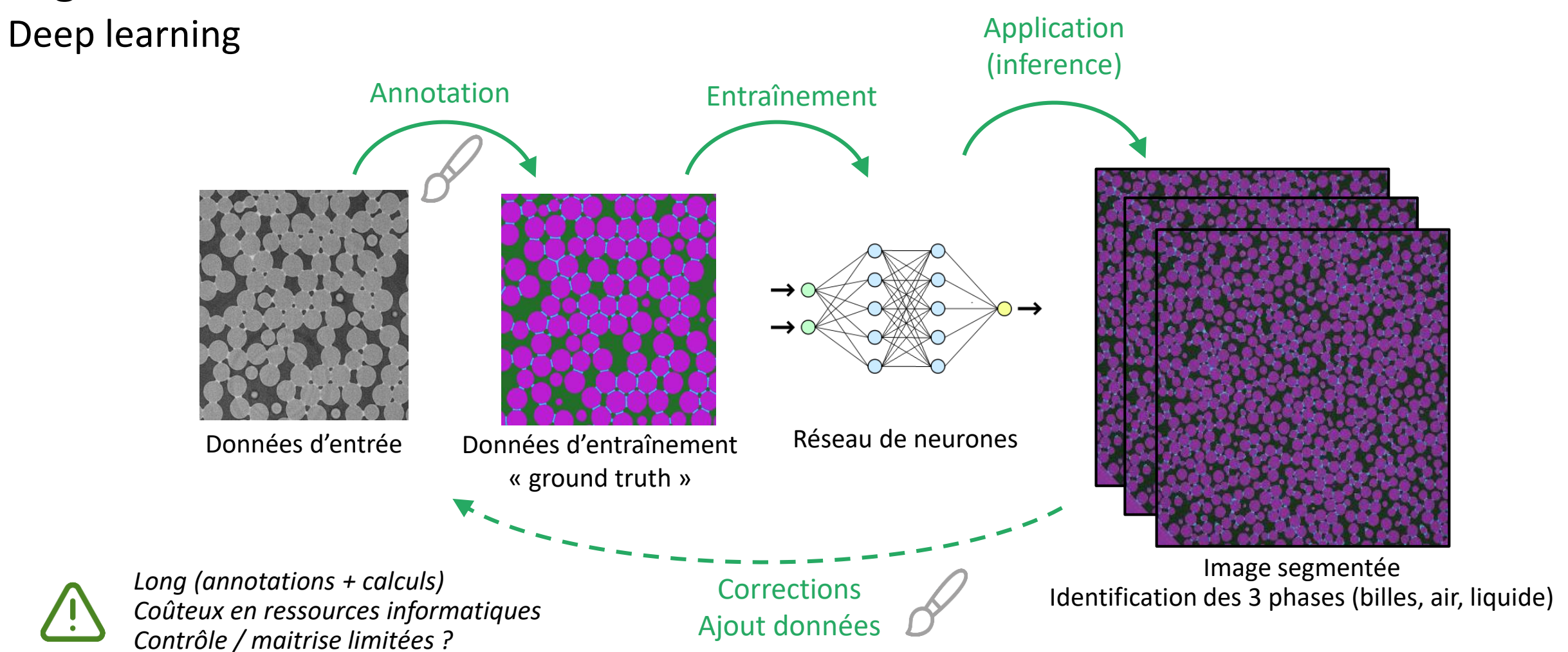
Deep learning:

« utilise des réseaux neuronaux artificiels formant de nombreuses couches pour résoudre des tâches complexes. »



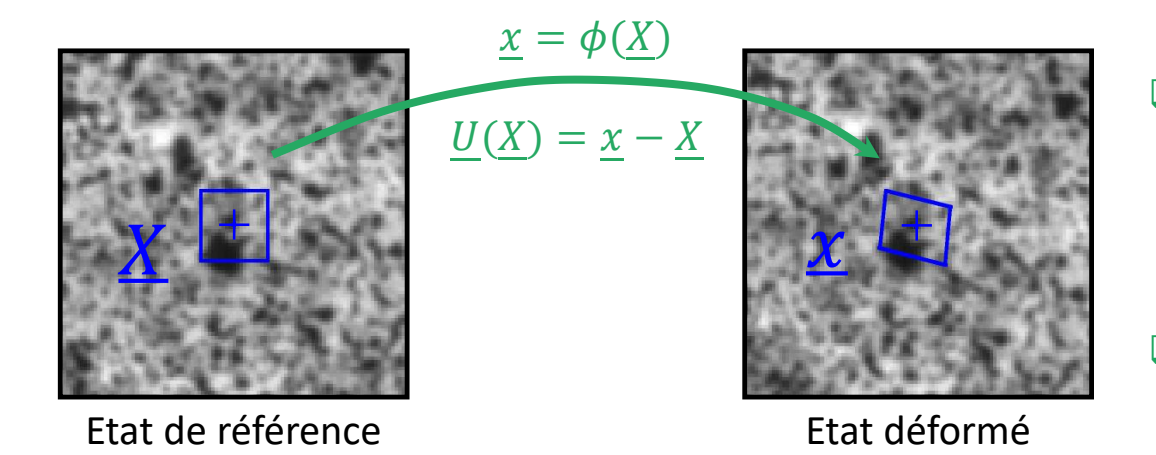
Awdi et al, Granular Matter 27, 2025

Segmentation utilisant l'IA

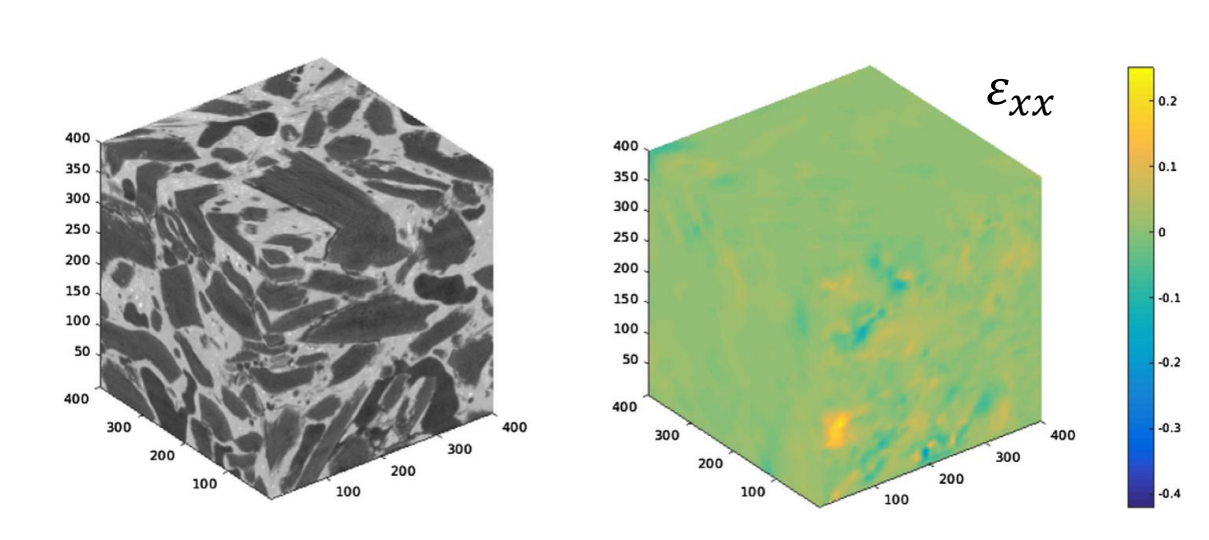


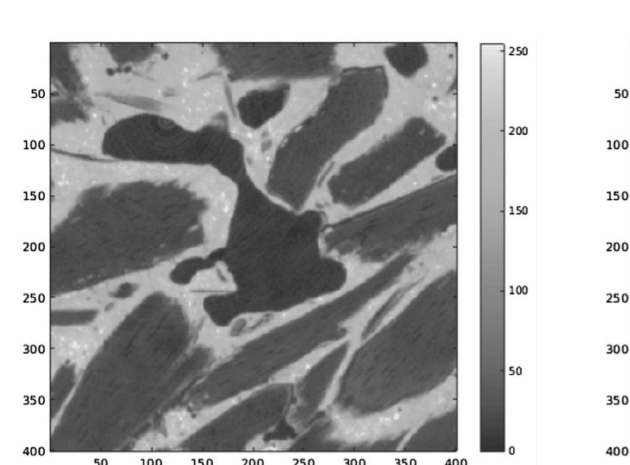


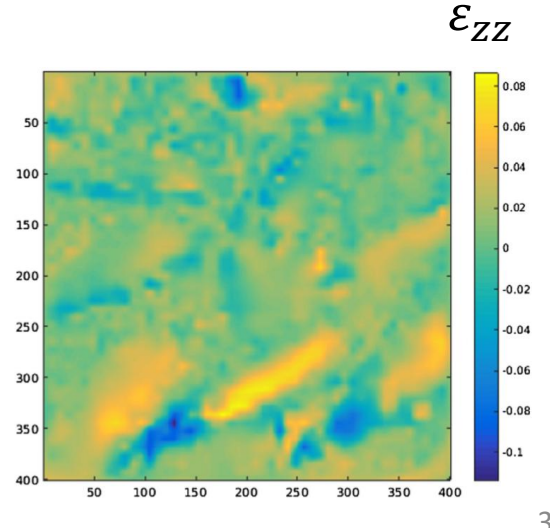
Corrélation d'images numériques (2D) ou volumiques (3D)



- □ Appariement des points d'après la « ressemblance » de leur voisinage
 - → cf cours E. Toussaint, Mesures de champs, Ecole GDR MBS 2022
- ☐ Image 3D : marquage = microstructure







31

Quelques outils

- ImageJ / Fiji (dont Weka) [visualisation][analyse]
- Paraview [visualisation]
- □ 3D Slicer [visualisation][analyse]
- □ Dragonfly (Comet) [visualisation][analyse]
- □ Python : scikit-image, spam, porespy ... [analyse]
- **...**
- + logiciels commerciaux payants



Exemples d'application sur matériaux de construction biosourcés



Exemple 1 : Béton de chanvre – Du scan à un 1er niveau d'analyse



Echantillon pour l'essai MBV Taille de l'échantillon : 103 x 100 x 68 mm³

> Paramétrage du scan : 77 kV Taille de voxel : 58 μm Temps d'exposition de 1 415 ms







CT Pro 3D





NIKON XT H 225ST 60 – 225 kV Cible en tungstène Tâche focale de 3µm à 7 W

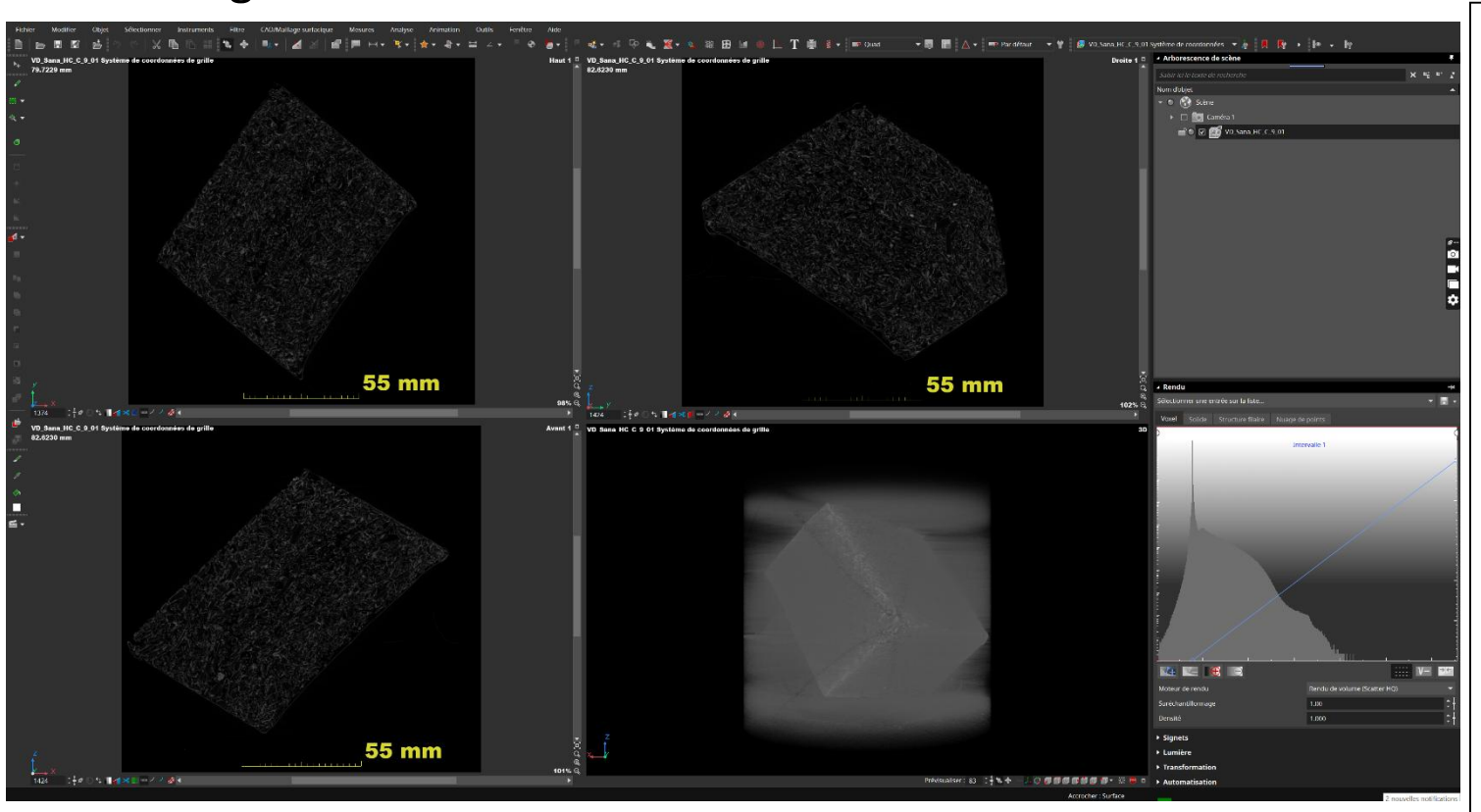
Mémoire RAM : 384 Go

2 processeurs Intel Xeon Gold 6230R CPU @2.10 GHz Carte graphique NVIDIA Quatro RTX 4000 Stockage 12 To



Exemple 1 : Béton de chanvre – Du scan à un 1er niveau d'analyse

Démarrage Fichier



Que voit-on?

Coupes 2D (Vue Haut, Vue Avant, Vue Droite) + Vue 3D

Fenêtre d'arborescence de scène + Rendu (inclus l'histogramme de niveaux de gris et le moteur de rendu)

Problèmes:

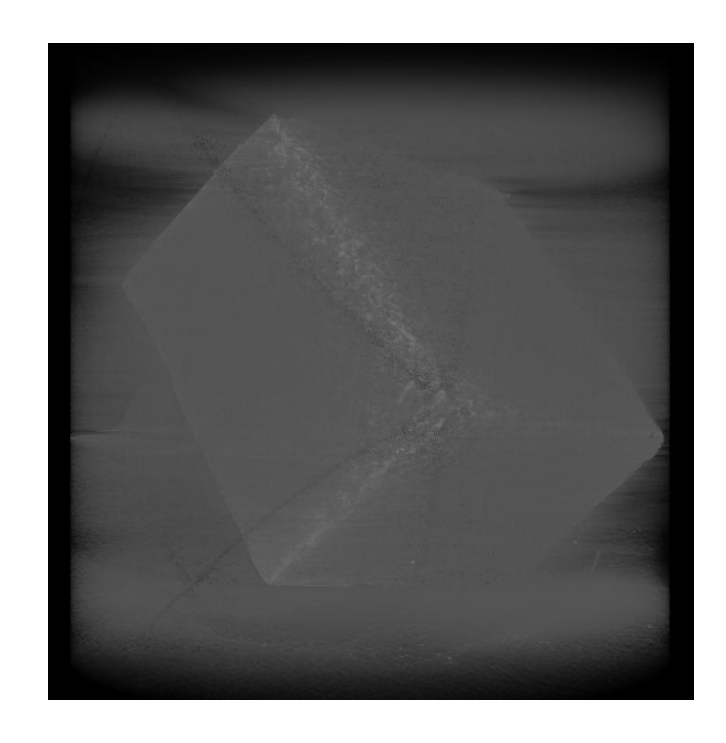
Distinction des éléments peu claires Vues 2D comportant une orientation aléatoire Vue 3D dans le brouillard

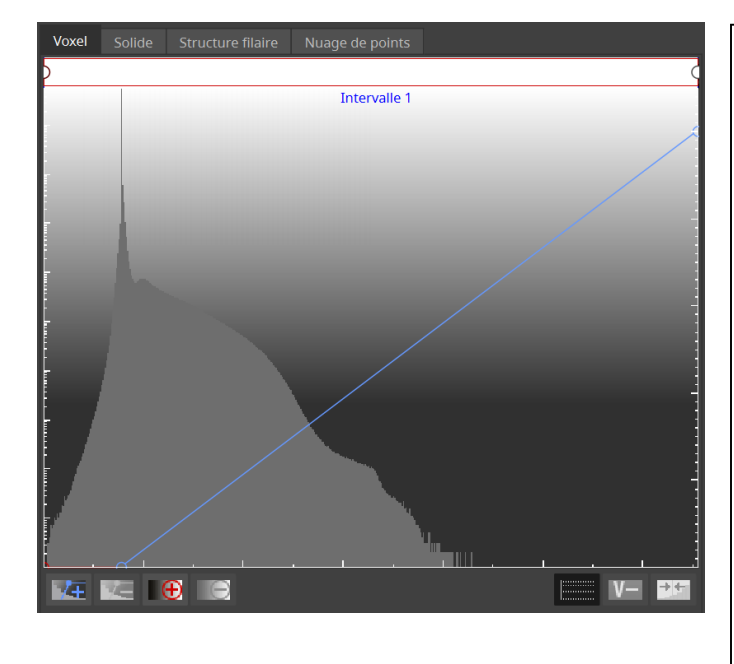
→ Réglage manuel de la gamme de niveaux de gris à afficher via l'histogramme



Exemple 1 : Béton de chanvre – Du scan à un 1er niveau d'analyse

Démarrage Fichier





Que voit-on?

Coupes 2D (Vue Haut, Vue Avant, Vue Droite) + Vue 3D

Fenêtre d'arborescence de scène + Rendu (inclus l'histogramme de niveaux de gris et le moteur de rendu)

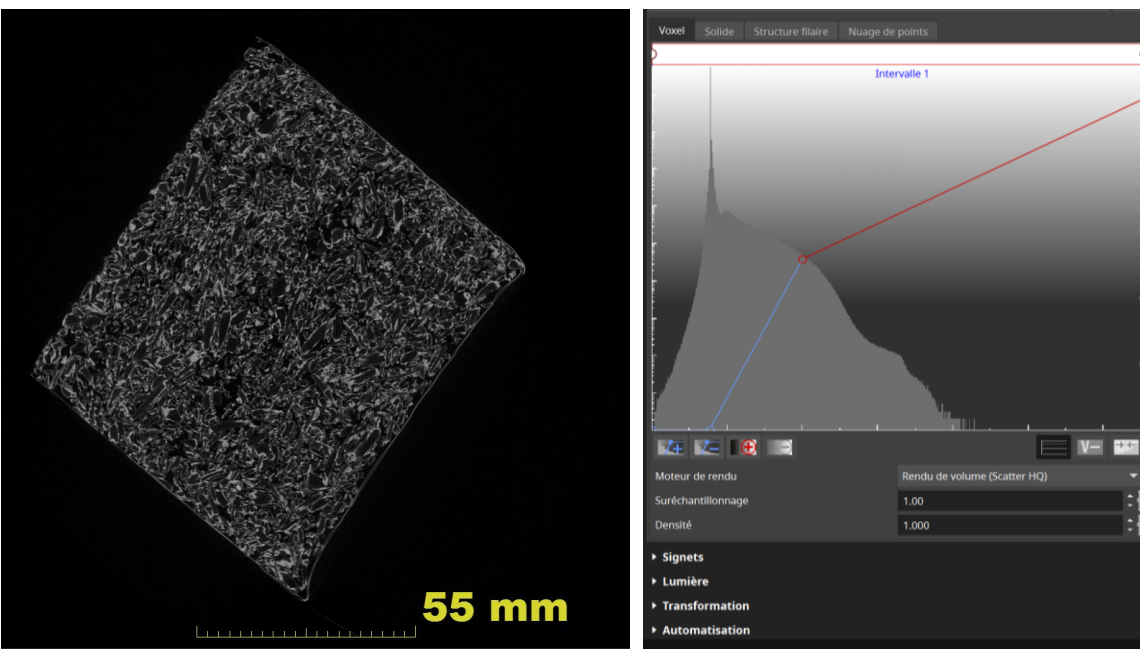
Problèmes:

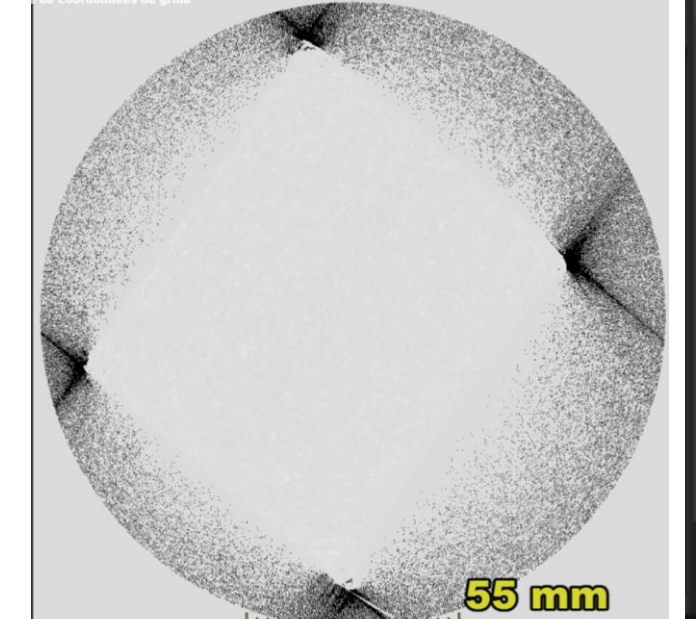
Distinction des éléments peu claires Vues 2D comportant une orientation aléatoire Vue 3D dans le brouillard

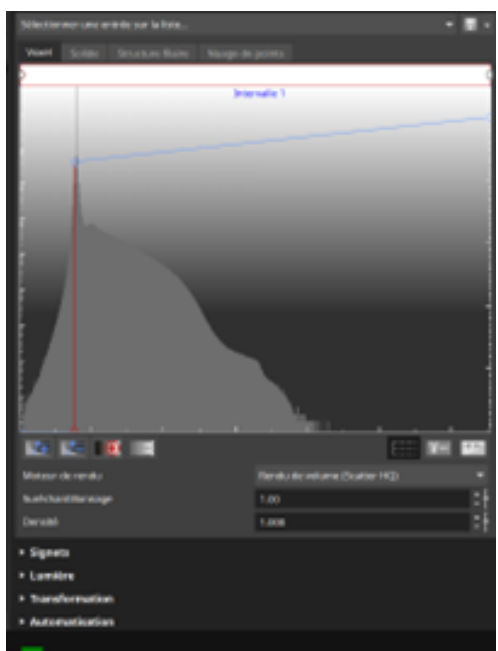
→ Réglage manuel de la gamme de niveaux de gris à afficher via l'histogramme



Réglage manuel



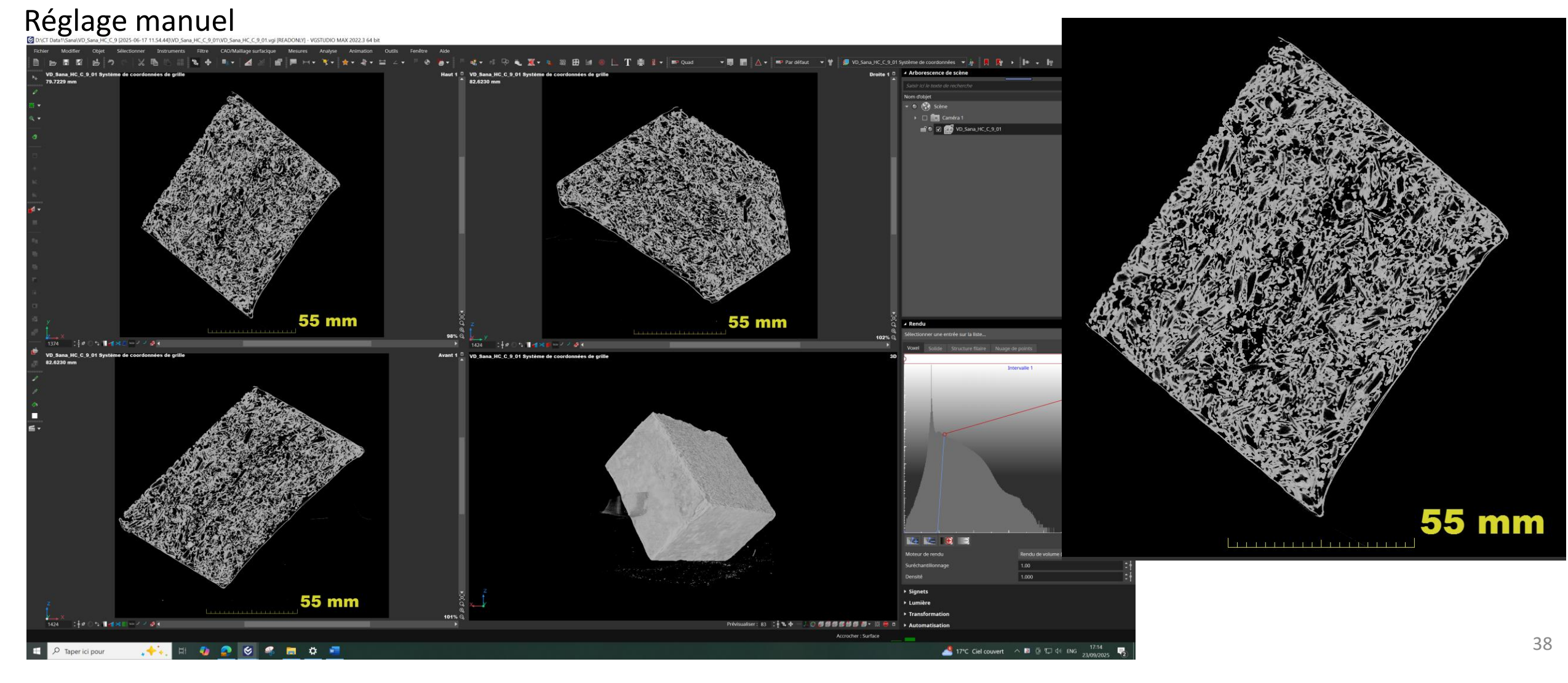




Amélioration

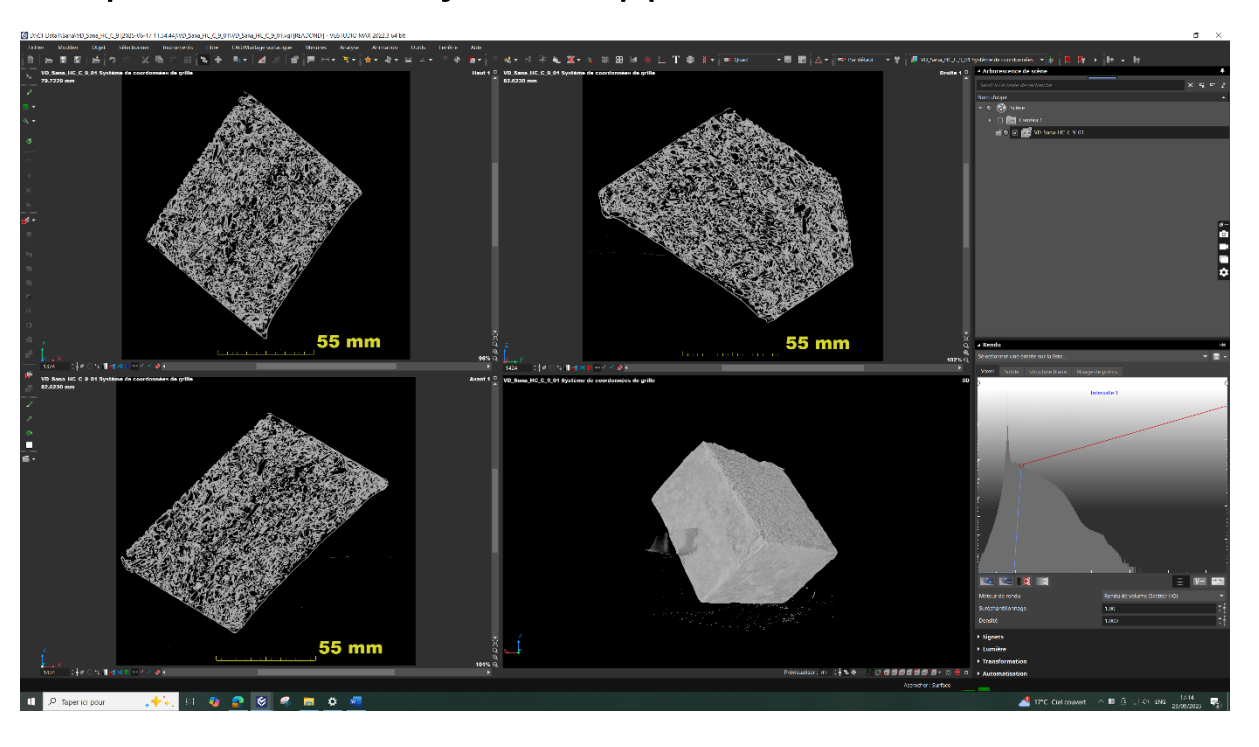
Saturation – Image bruitée







Repositionner l'objet et supprimer le contour de l'échantillon (contour en scotch aluminium)



- •Ici, les vues 2D sont orientées incorrectement : repère XYZ à aligner sur la forme de l'objet
- •Dans la vue 3D, on voit des éléments présents (particules → bruit ou autre) autour de l'échantillon lui-même : supprimer l'espace autour

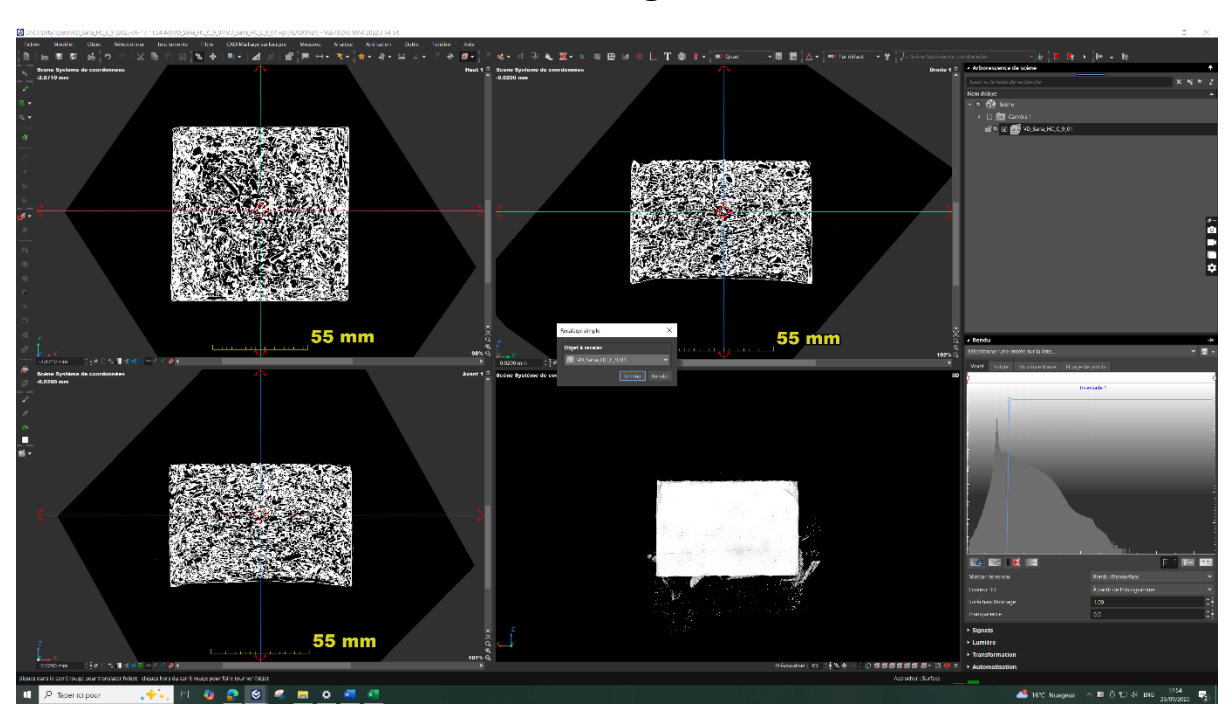
En effet, l'échantillon fait 700 400 mm³ et le logiciel donne, dans l'onglet Propriétés de l'objet, 4 335 338 mm³



Avant de pouvoir supprimer l'espace autour, il faut recaler l'objet.

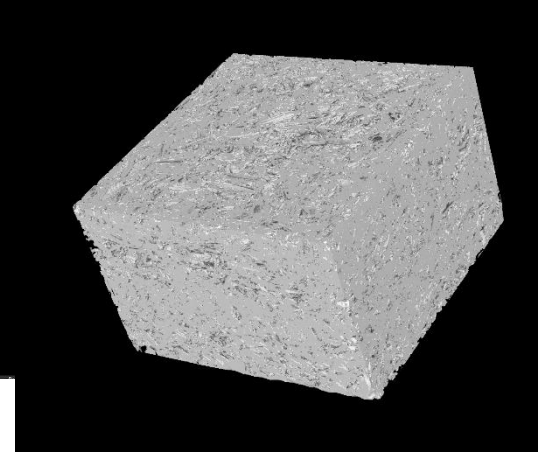
Repositionner l'objet et supprimer le contour de l'échantillon (contour en scotch aluminium)





Suppression de l'espace autour

Utilisation d'une boîte de découpe



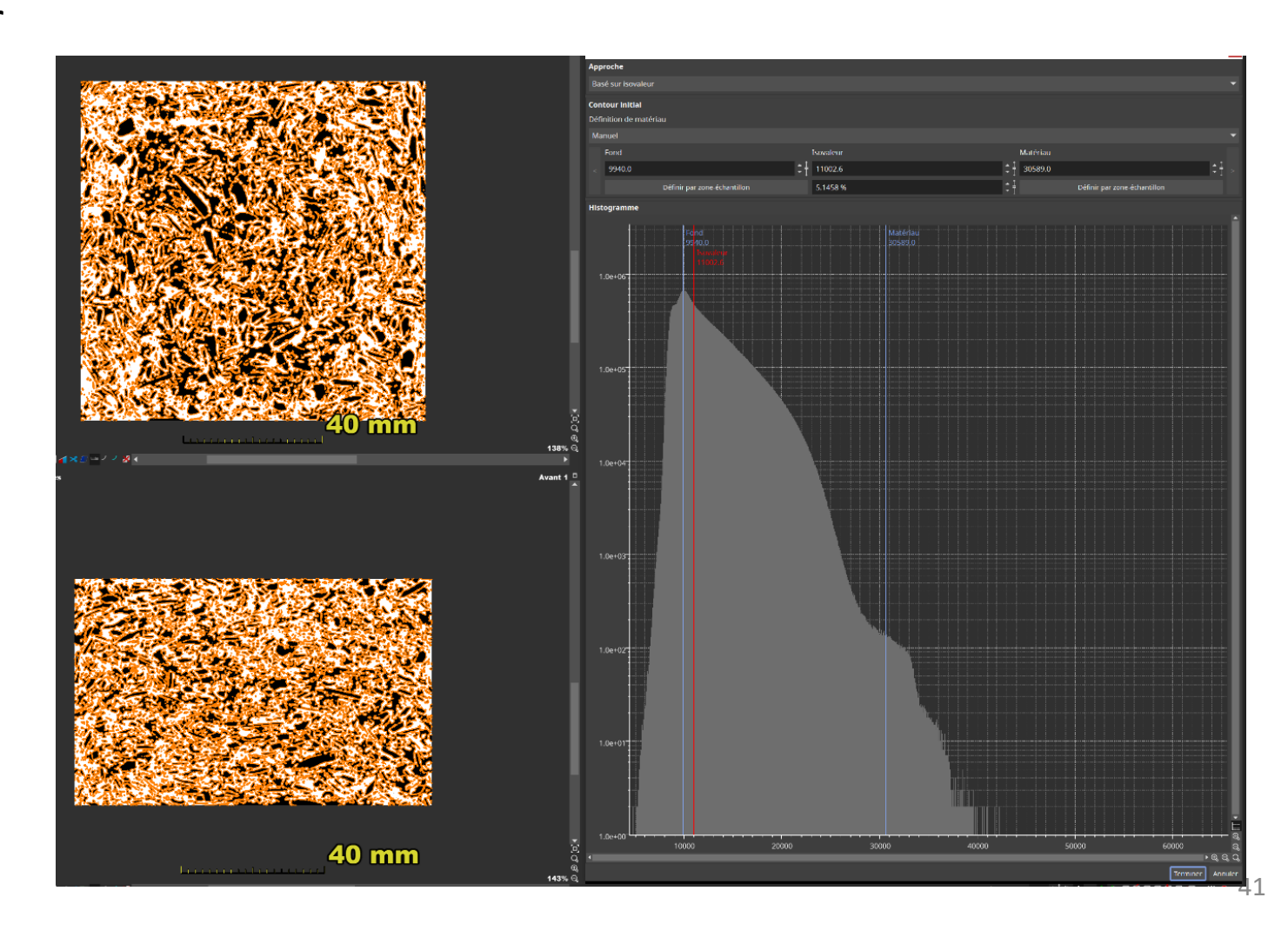
Après découpe : Volume total = 613 632 mm3 → perte de 12.4% d'objet (contour incluant le ruban métallique et les zones de défaut de surface)



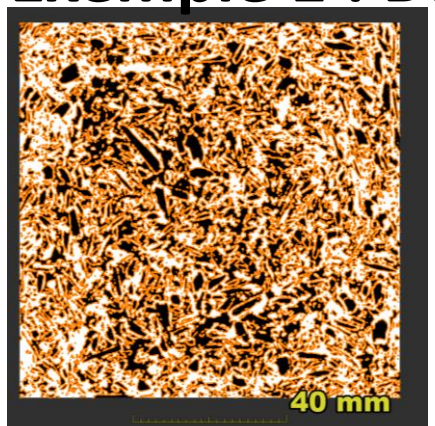
Indiquer au logiciel la limite entre matière et air

- → Segmentation par seuillage
 Matière = liant (blanc + orange sur l'image)
 Air = porosité + chènevotte (noir sur l'image)
- → Nécessaire pour faire de l'analyse (comptage, mesures)

Mais est-ce conforme à la porosité de mon échantillon ?

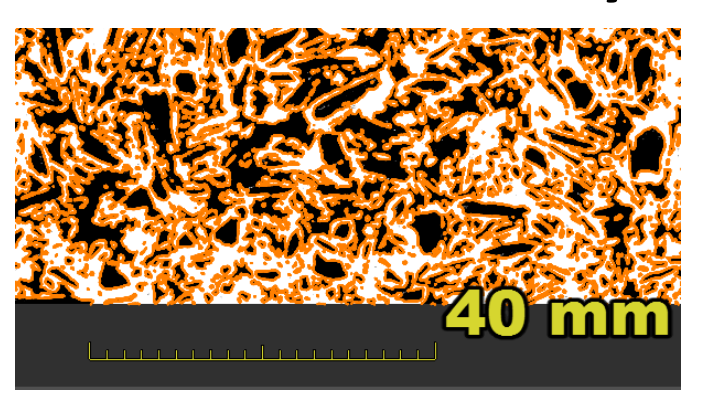






- → Menu Propriétés :
 - \circ Volume total = 613 632 mm³
 - \circ Volume vides = 274 016 mm³

→ Porosité = 44.7 %





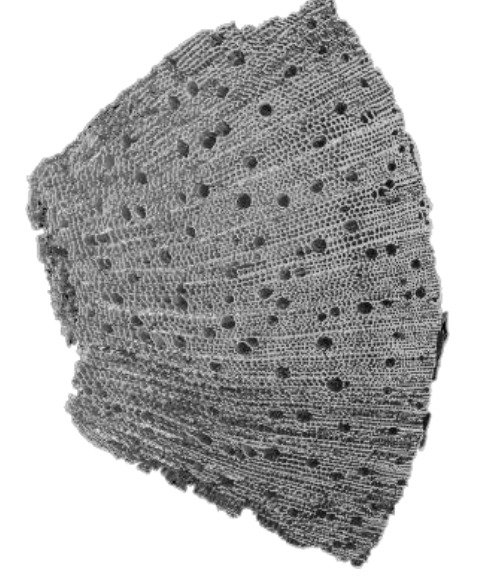
Evaluation de porosité par mesures directes ou indirectes (pycnomètre à azote, pesée hydrostatique, mesures des

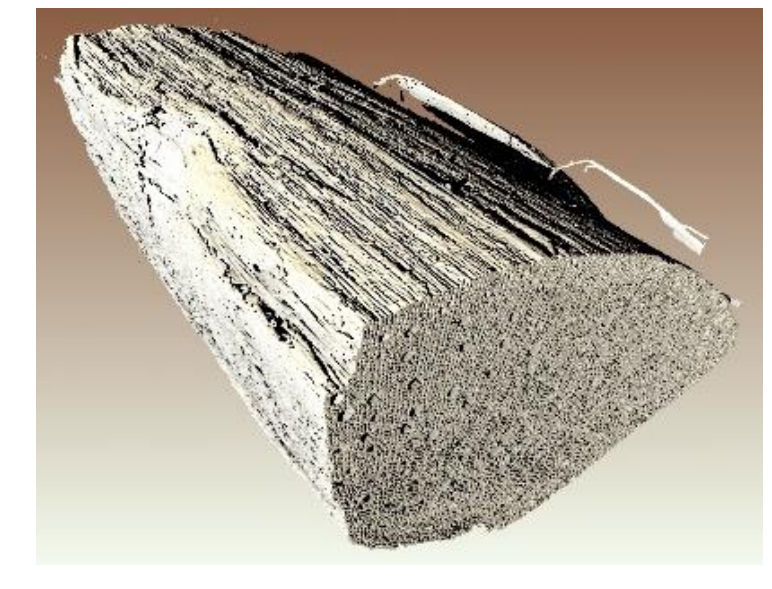
échantillons)

Composition / Rapports massiques :

- •Liant/Eau = 0.9
- •Chènevotte/Liant = 0.5

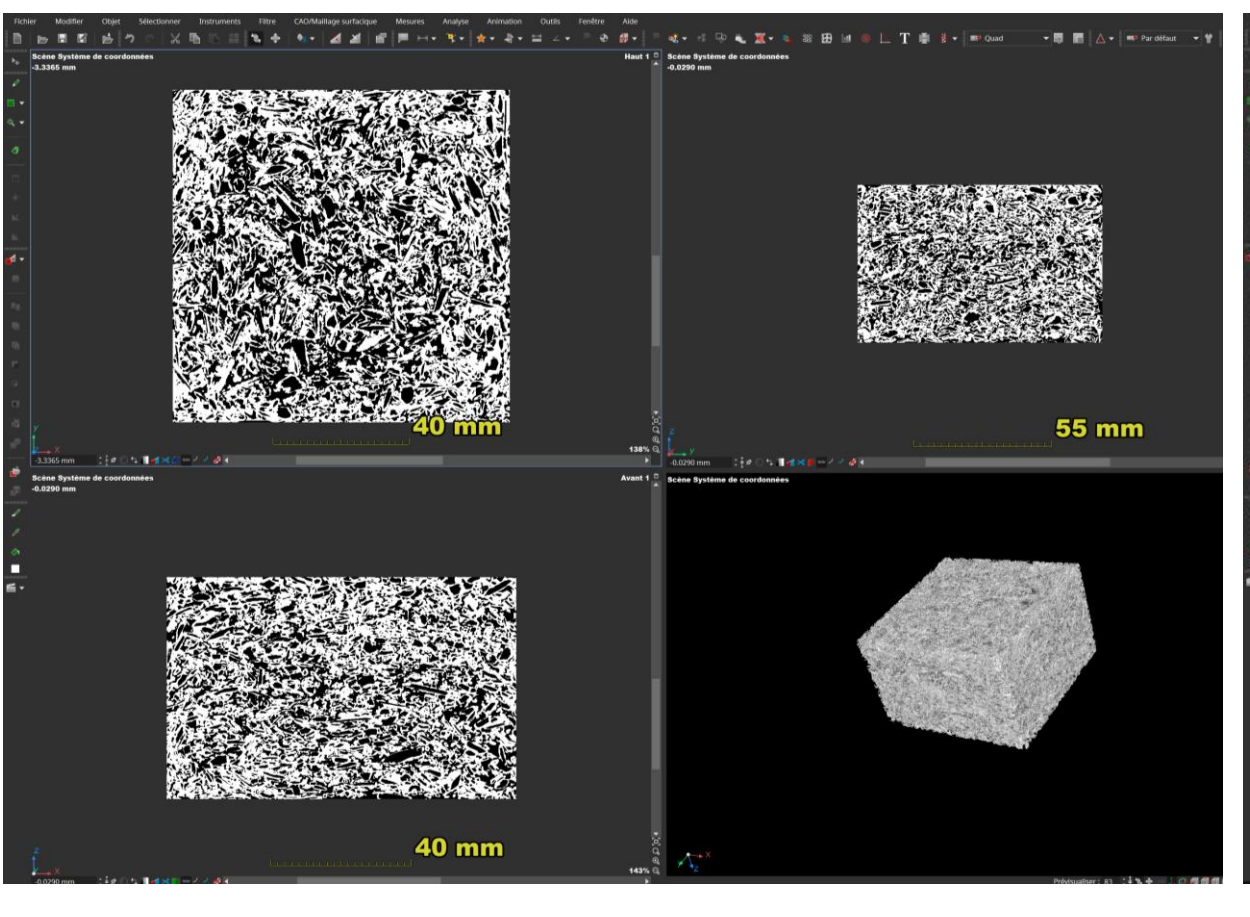
Porosité totale : Vvides/Vtotal = 81.2%

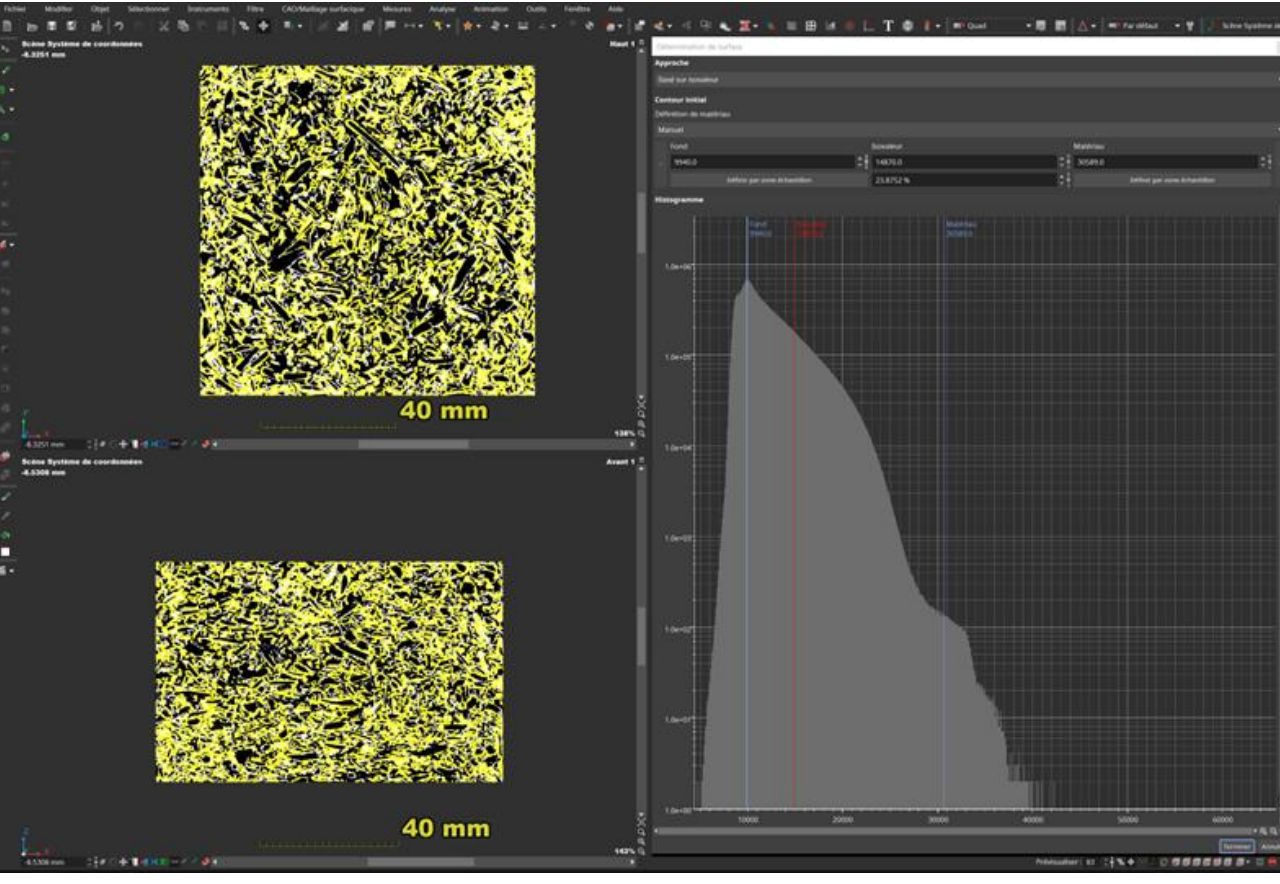






→ Revenir sur les réglages de seuillage en cherchant à obtenir la porosité totale de 81,2%

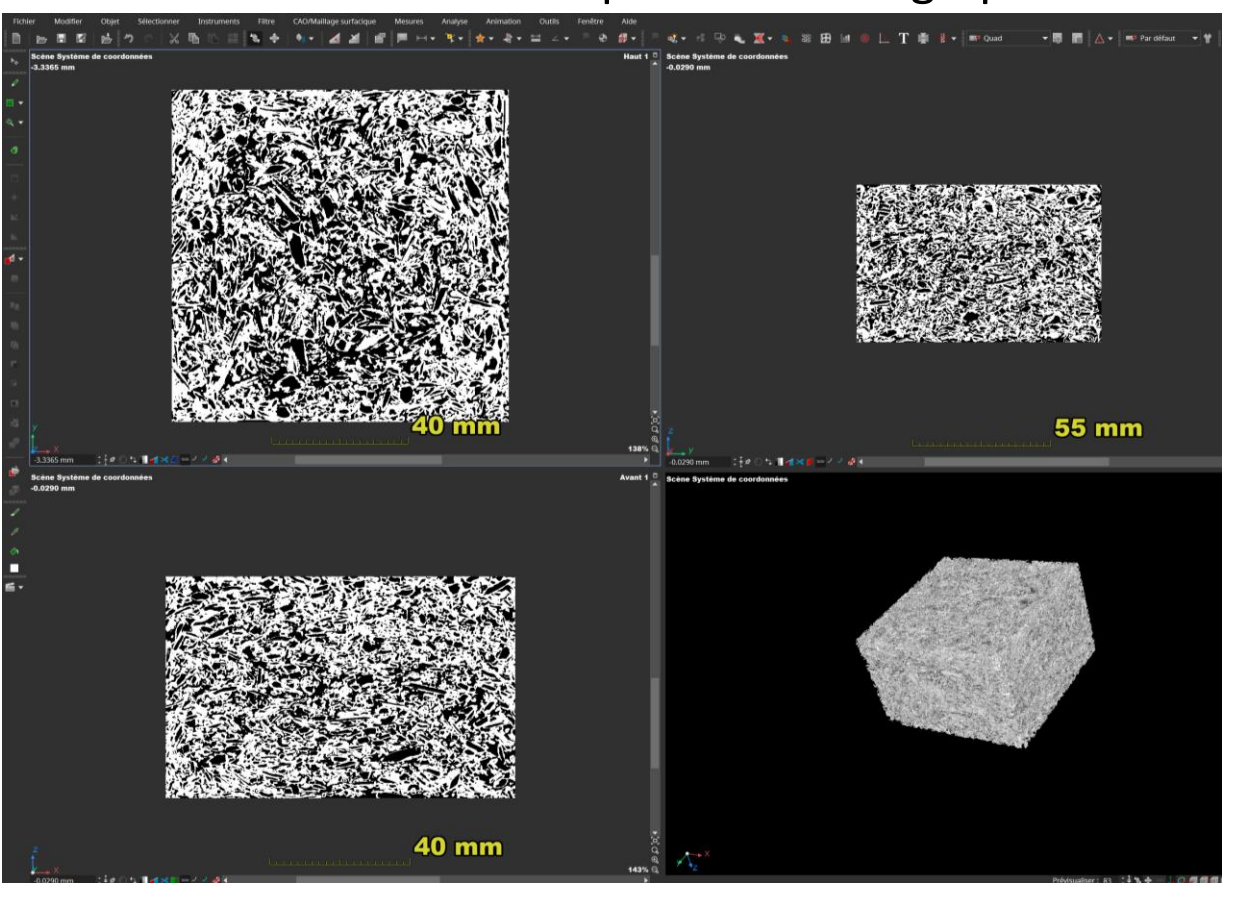


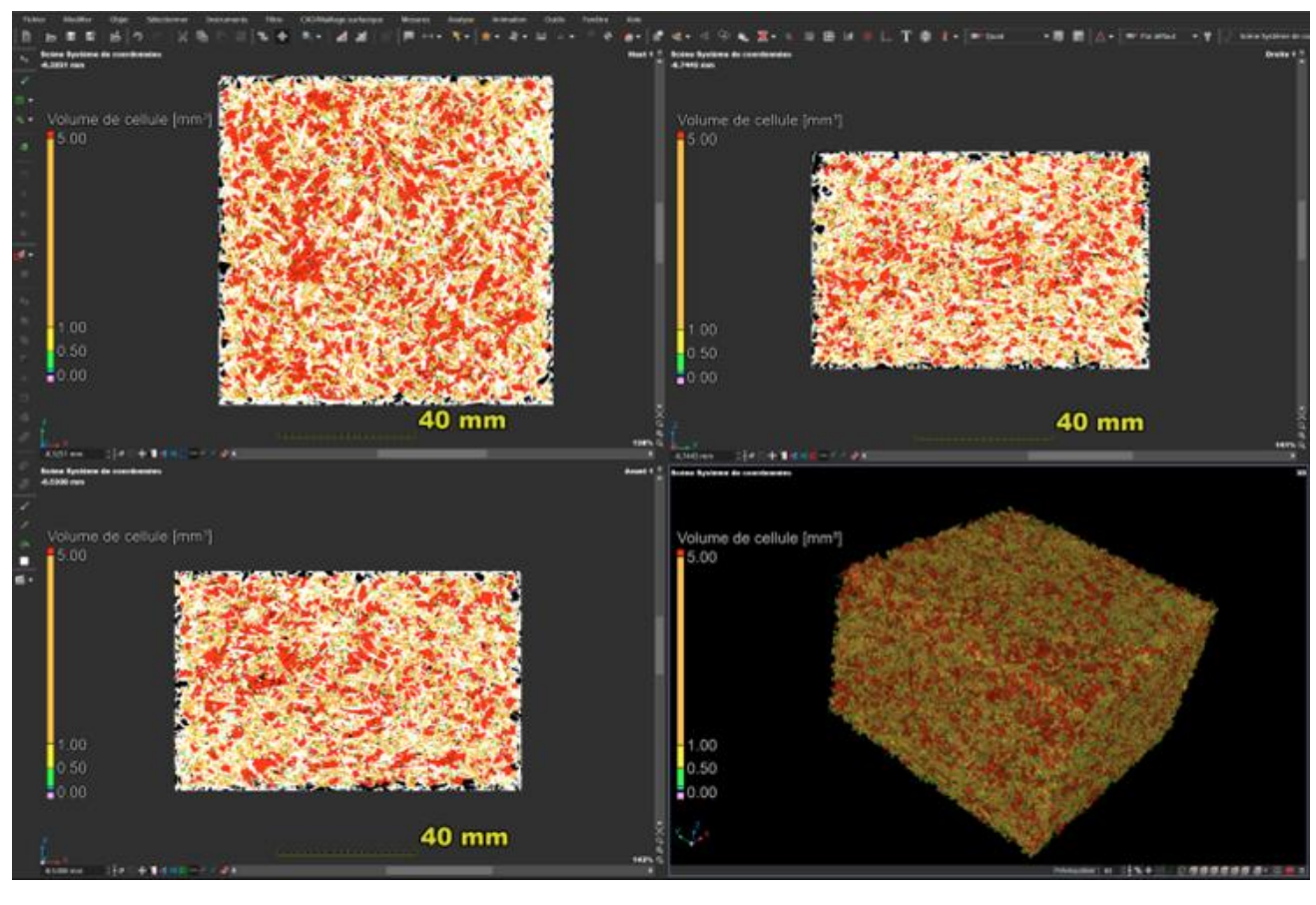




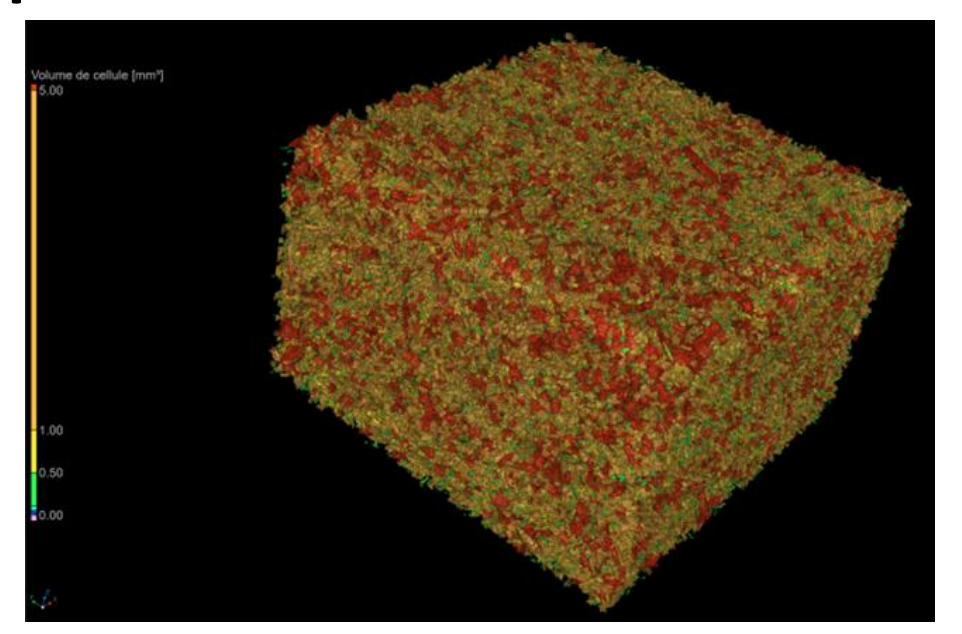
Menu propriétés : porosité = 81.2%

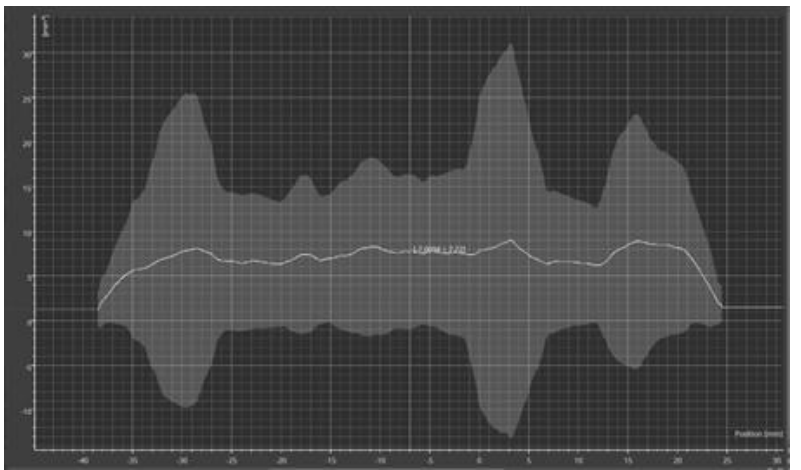
Module de détection des pores → cartographie





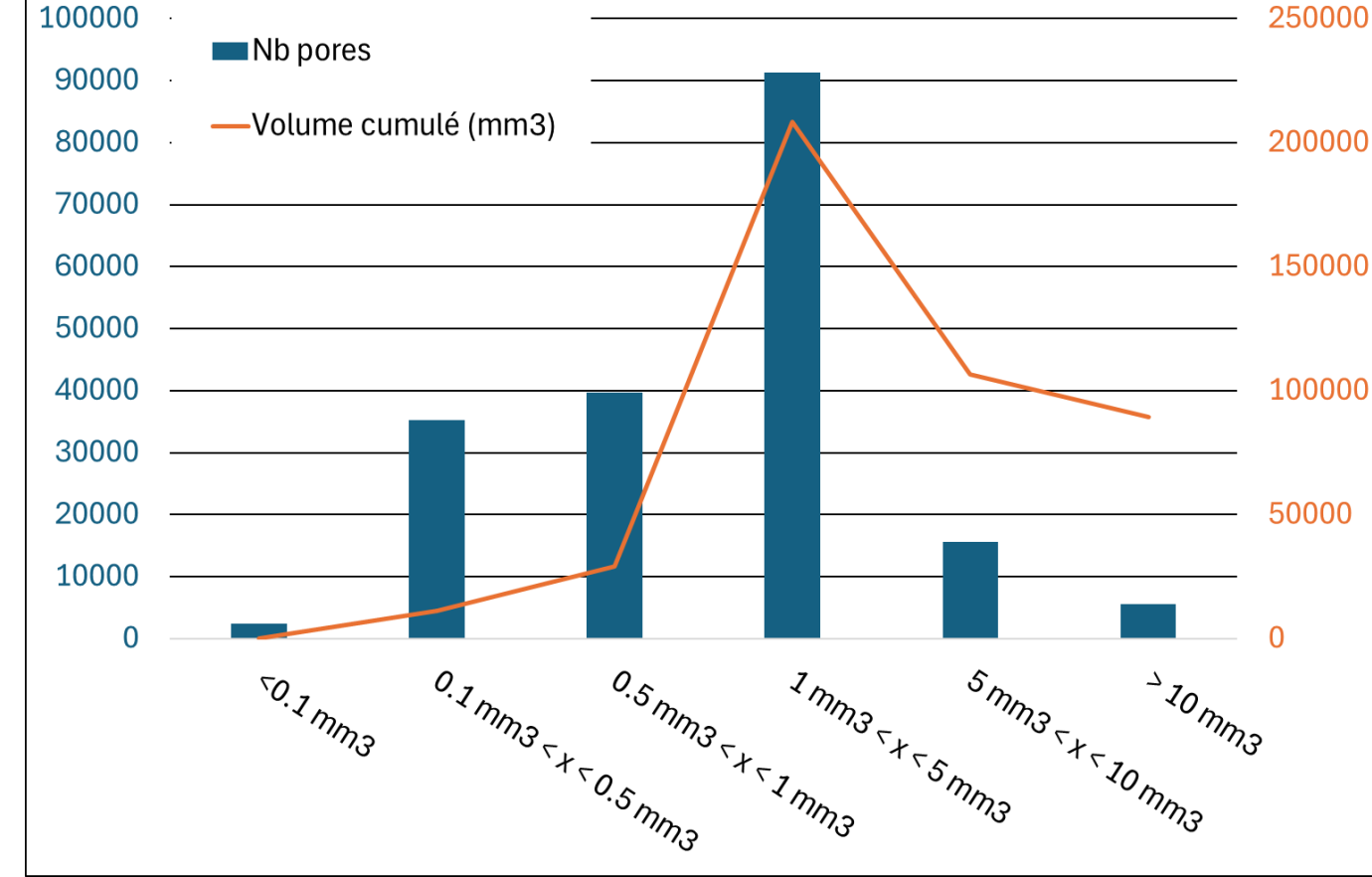






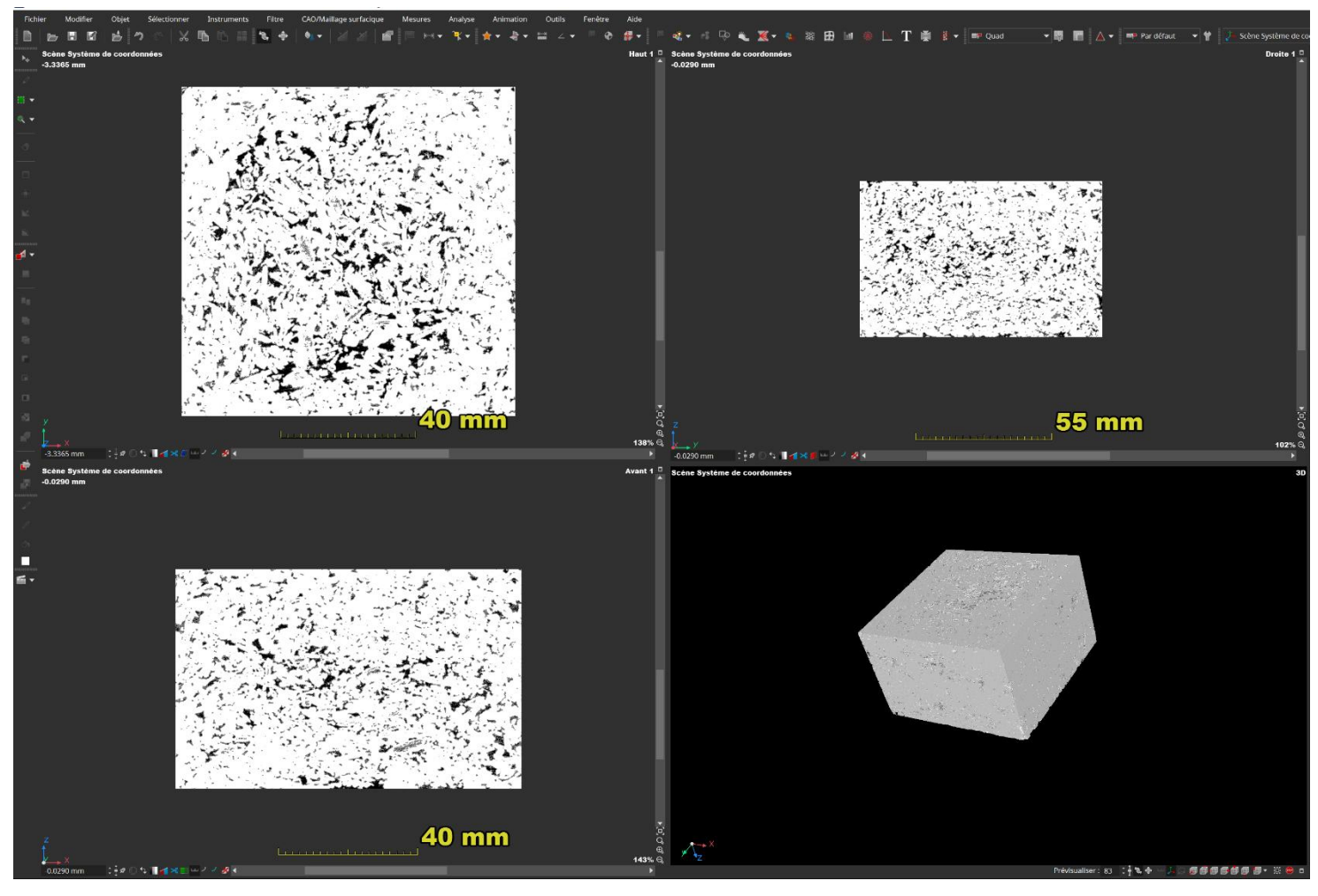
Variabilité directionnelle

Classification de répartition des pores par intervalle de volume





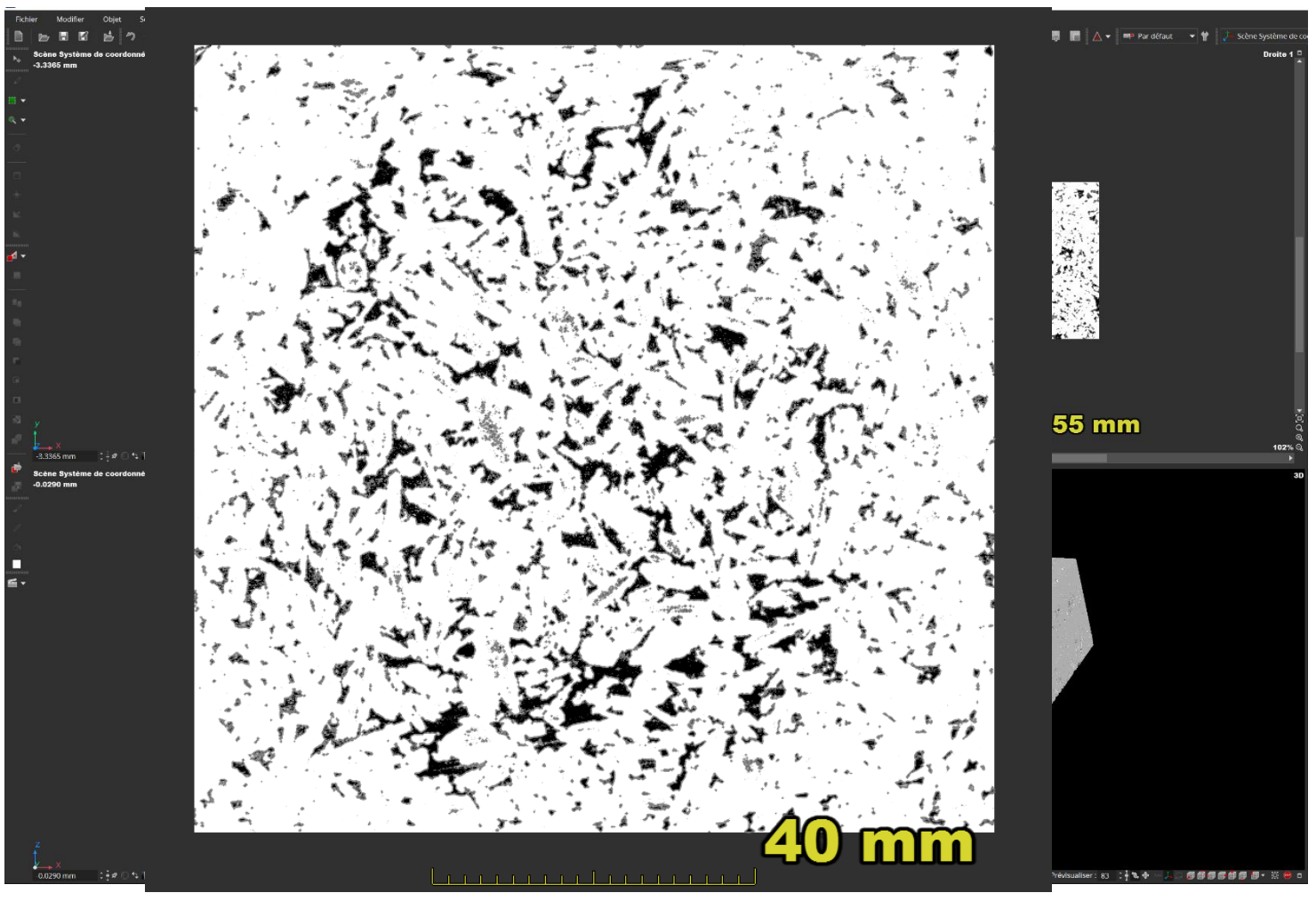
Analyse de la porosité matricielle ?



Modification du seuil pour inclure la chènevotte dans la matière



Analyse de la porosité matricielle ?



Modification du seuil pour inclure la chènevotte dans la matière

Menu propriétés :

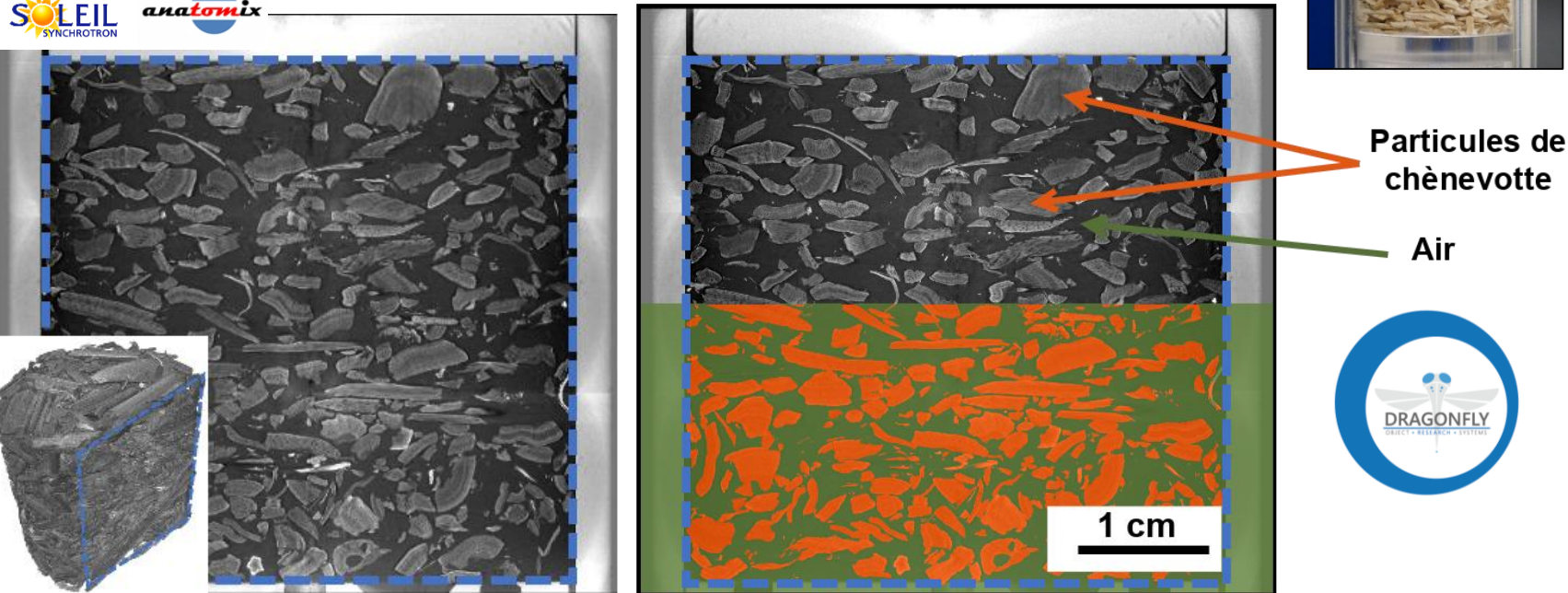
porosité estimée = 10.0%

- → différent de la porosité calculée à partir de la porosité totale et de la porosité interne de chènevotte (38.0%)
- → Contraste air / chènevotte insuffisant, segmentation impossible par seuillage simple



Exemple 2 : empilement de chènevotte [Post-doc Tinhinane Chekai (Navier, Cerema, IRDL)]

Segmentation par deep learning (IA)





• Temps d'entraînement initial : 2 jours et 18 heures (+ temps d'annotation !)

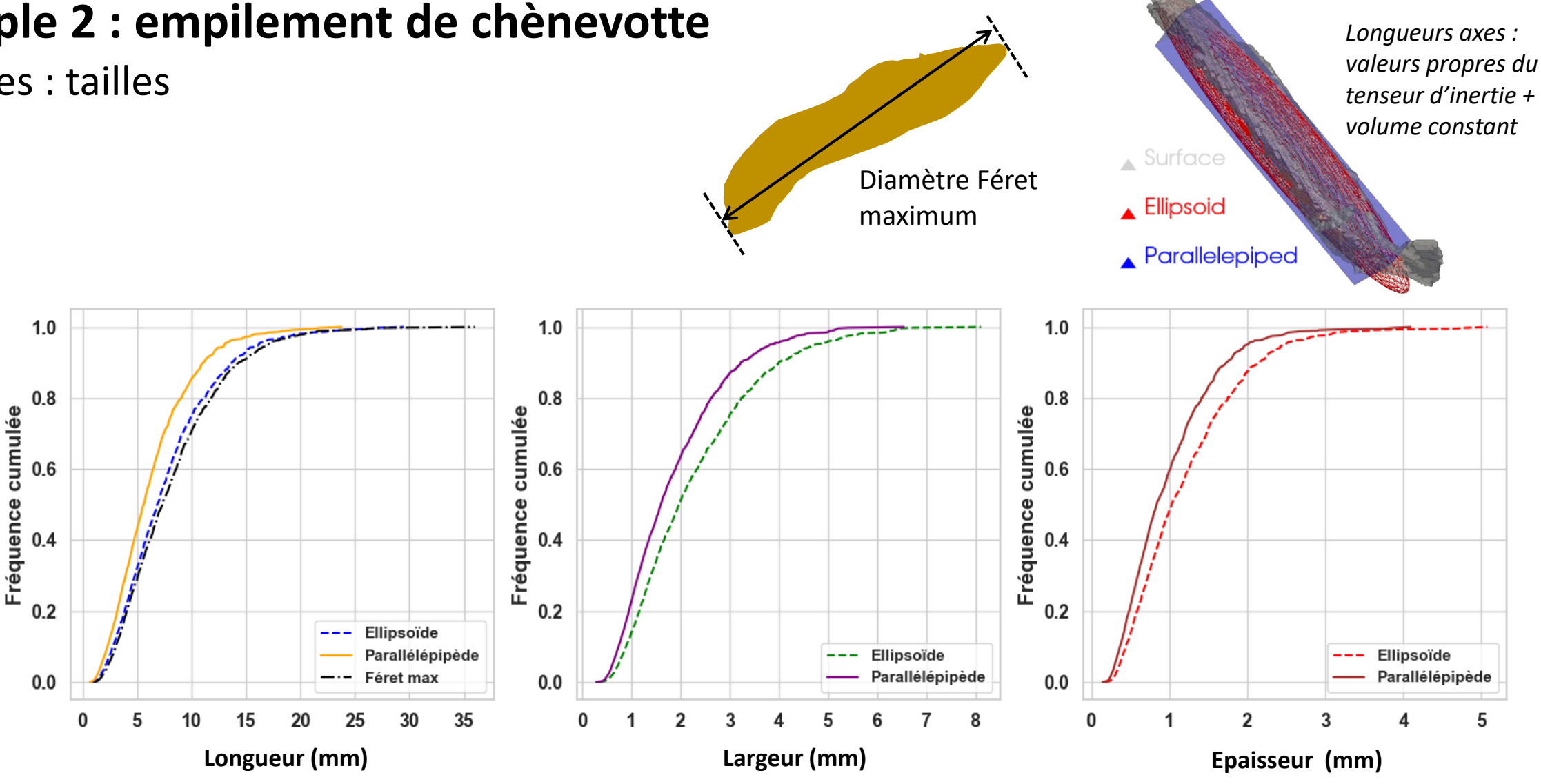


Séparation de particules 3D : Deep Learning + watershed

ADEME

Exemple 2 : empilement de chènevotte

Mesures : tailles

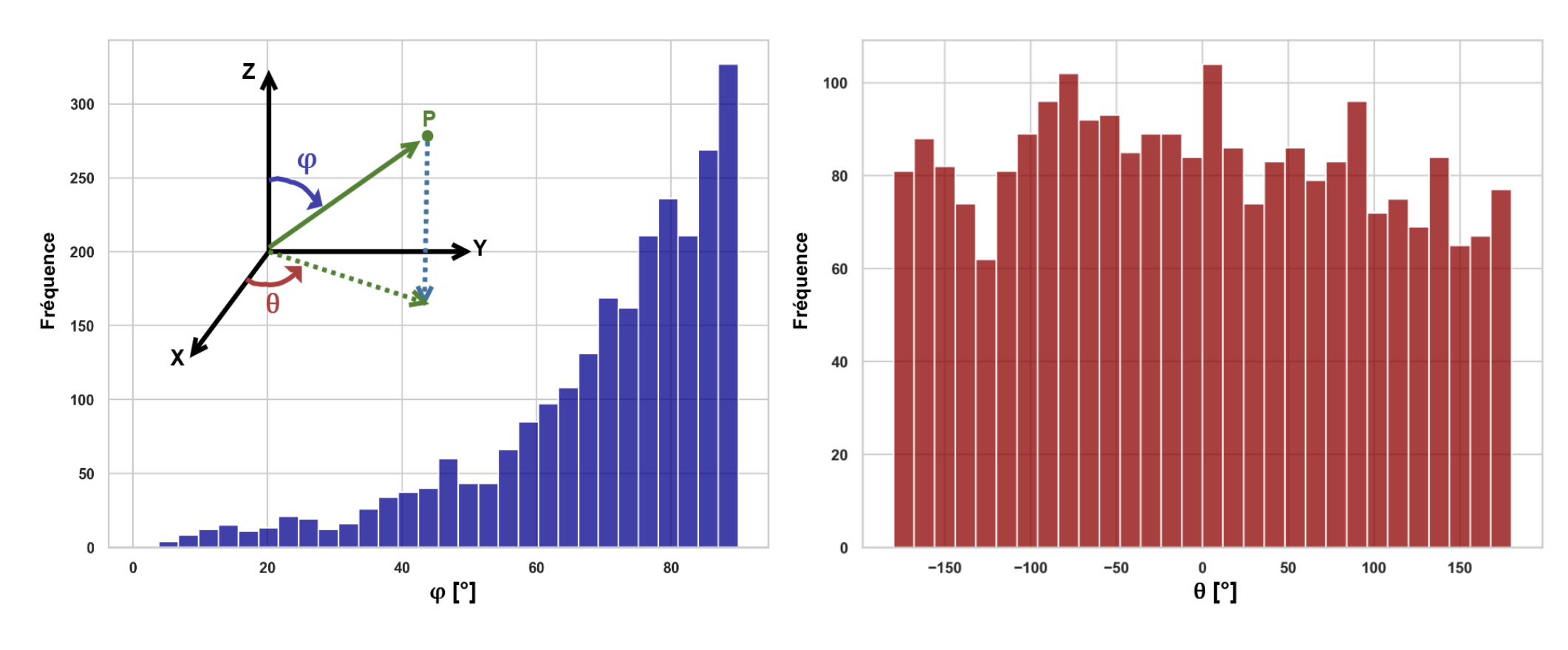


49 Chekai et al., RUGC & ICBBM 2025

Exemple 2 : empilement de chènevotte

Mesures: orientations

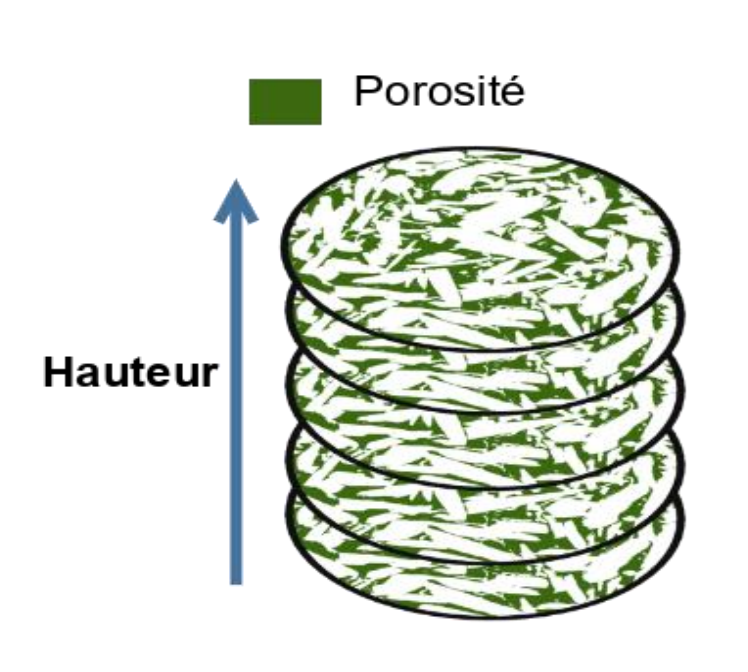
Axe des particules issu des valeurs et vecteurs propres du tenseur d'inertie

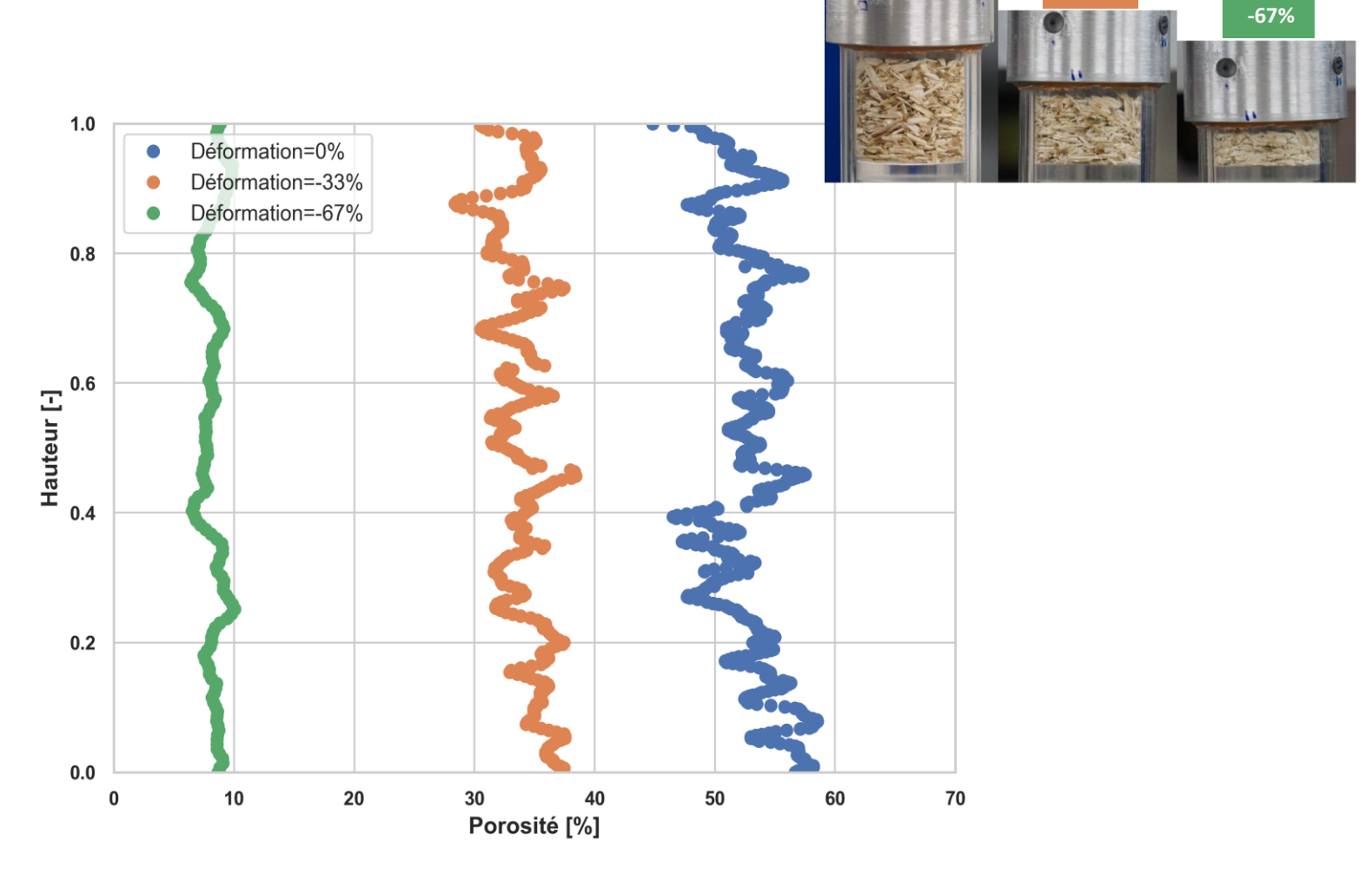


- → Pas d'orientation préférentielle dans le plan horizontal
- → Une orientation préférentielle de 90° par rapport à la verticale

Exemple 2 : empilement de chènevotte

Mesures : porosité sous compression





→ Diminution homogène de la porosité dans le volume à différentes étapes de compression



Spécificités biosourcés

QUELQUES CONCLUSIONS

OPERATEUR

Paramétrage du scan

→ Conditionne la qualité d'image

Faible absorption rayons X par la matière végétale : temps d'exposition allongés, contraste de phase ...

Phase de préparation du scan avant analyse : filtres, segmentation

Conditionne l'analyse

Bruit, faible contraste air / matière végétale

UTILISATEUR DU SCAN

Analyses multiples de la microstructure des échantillons

Microstructure complexe et multiéchelle

- ➤ A puissance égale, limiter l'énergie pour favoriser l'intensité (nombre de photons reçus par le détecteur)
- Compromis à trouver entre qualité d'image, quantité d'informations (nombre d'images par tour, ...) et capacité station de calcul
- Mesures faites en parallèle (pycnomètre, ...) comme repères "vrais"
- Tests de sensibilité aux paramètres
- Données quantitatives : morphologie des particules, fibres, porosité (taille, répartition spatiale, connectivité ...)
- Génération de microstructures virtuelles / de maillages basées images
 - → Impact mécanique, passage préférentiel du flux de chaleur, propriétés acoustiques ...

DEVELOPPEUR

Outils en développement (filtres, morphologie mathématique, intelligence artificielle, ...)